

Пояснительная записка

Вычислительные техники решения задач линейного программирования в частично-целочисленной постановке и приемы работы с решателем SCIP

Подвойский А.О., Глазунова Е.В.

Содержание

| | | |
|----------|--|-----------|
| 1 | Ключевые термины и определения | 3 |
| 2 | Ключевые компоненты платформы SCIP | 3 |
| 2.1 | Решатель SCIP. Общие сведения | 3 |
| 2.1.1 | Установка решателя SCIP | 3 |
| 2.1.2 | Приемы работы с решателем SCIP в интерактивной оболочке <code>scip</code> | 3 |
| 2.1.3 | Приемы работы с решателем SCIP через обертку <code>PySCIPOpt</code> | 4 |
| 2.2 | Декомпозиционный решатель GCG. Общие сведения | 4 |
| 2.2.1 | Установка решателя GCG | 4 |
| 2.2.2 | Приемы работы с решателем GCG в интерактивной оболочке <code>gcg</code> | 4 |
| 2.2.3 | Приемы работы с решателем GCG через обертку <code>PyGCGOpt</code> | 5 |
| 3 | Выявленные баги SCIP и тонкости процедуры поиска решения | 5 |
| 3.1 | Недопустимое решение для релаксированной постановки задачи | 5 |
| 3.2 | Неединственность релаксированного решения | 5 |
| 3.3 | Замечание о стабильности работы решателя SCIP на различных операционных системах | 5 |
| 4 | Альтернативные решатели с открытым исходным кодом | 6 |
| 4.1 | Решатель HIGHS | 6 |
| 4.1.1 | Установка решателя на Centos 7 | 6 |
| 4.1.2 | Приемы работы с решателем | 7 |
| 4.2 | Решатель OPTIMUS (Scala) | 10 |
| 5 | Сжатая сводка результатов вычислительных экспериментов | 10 |
| 6 | Приемы поиска решения | 11 |
| 6.1 | Прием фиксации бинарно-целочисленных переменных в релаксированном решении | 11 |
| 6.2 | Прием подавления подгруппы первичных эвристик низкой эффективности | 12 |
| 6.3 | Прием подбора порога бинаризации для бинарных переменных в релаксированном решении | 14 |

| | | |
|-----------|--|-----------|
| 7 | Методы машинного обучения в задачах комбинаторной оптимизации | 15 |
| 7.1 | Постановка задачи | 15 |
| 7.2 | Концепт матрицы признакового описания бинарных и целочисленных переменных | 16 |
| 7.3 | Стратегии решения задачи | 16 |
| 7.3.1 | Стратегия №1. Обнаружение аномалий | 16 |
| 7.3.2 | Стратегия №2. Бинарная классификация со слабо выраженным миноритарным классом | 19 |
| 7.4 | Трансфер выявленного паттерна. Сценарии группы СОП | 19 |
| 7.4.1 | Сценарий tmpfvprqodxw.lp без бинарных переменных | 19 |
| 7.4.2 | Синтетический сценарий 1664182546_82382.lp с бинарными переменными | 20 |
| 7.4.3 | Синтетический сценарий 1664182533_1587787.lp с бинарными переменными | 22 |
| 7.4.4 | Синтетический сценарий 1664182480_4326847.lp с бинарными переменными | 23 |
| 7.4.5 | Синтетический сценарий 1664182523_380519.lp с бинарными переменными | 24 |
| 8 | Описание вычислительных экспериментов на сценариях группы ИКП | 25 |
| 8.1 | Поиск решения на сценариях без бинарных переменных. Метаконфигурации SUH, FZBIVSUHPB и ансамбль детекторов аномалий | 26 |
| 8.1.1 | Сценарий F398266B без бинарных переменных | 27 |
| 8.1.2 | Сценарий 50197DF7 без бинарных переменных | 27 |
| 8.1.3 | Сценарий 7FAC4231 без бинарных переменных | 29 |
| 8.1.4 | Сценарий CA485A55 без бинарных переменных | 31 |
| 8.1.5 | Сценарий 276 без бинарных переменных | 31 |
| 8.1.6 | Сценарий 337 без бинарных переменных | 33 |
| 8.1.7 | Сценарий 13D686AB без бинарных переменных | 34 |
| 8.1.8 | Сценарий A78CBEAD без бинарных переменных | 35 |
| 8.1.9 | Сценарий 496 (hard) без бинарных переменных | 37 |
| 8.1.10 | Сценарий 514 (hard) без бинарных переменных | 38 |
| 8.1.11 | Сценарий 519 (hard) без бинарных переменных | 39 |
| 8.2 | Поиск решения на сценариях с бинарными переменными. Метаконфигурация FZBIVSUHPB | 40 |
| 8.2.1 | Сценарий A78CBEAD с бинарными переменными | 41 |
| 8.2.2 | Сценарий 7FAC4231 с бинарными переменными | 43 |
| 8.2.3 | Сценарий 50197DF7 с бинарными переменными | 44 |
| 8.2.4 | Сценарий F398266B с бинарными переменными | 46 |
| 8.2.5 | Сценарий 337 с бинарными переменными | 47 |
| 8.3 | Поиск решения на базе методов машинного и глубокого обучения | 48 |
| 8.3.1 | Простое декартово произведение сценариев с бинарными переменными | 48 |
| 9 | Описание вычислительных экспериментов на сценариях группы МВО | 51 |
| 10 | Описание вычислительных экспериментов на сценариях MIPLIB 2017 | 51 |
| 10.1 | Сценарии со статусом «open» | 51 |
| 10.1.1 | Сценарий DLR2 | 51 |
| 10.1.2 | Сценарий CVRPA-N64K9VRPI | 51 |

| | |
|---|-----------|
| 10.2 Сценарии со статусом «hard» | 51 |
| 10.2.1 Сценарий CRYPTANALYSISKB128N50BJ14 | 51 |
| 10.3 Сценарии со статусом «easy» | 51 |
| 10.3.1 Сценарий NEOS-4332801-seret | 51 |
| Список иллюстраций | 52 |
| Список таблиц | 53 |
| Список литературы | 53 |

1. Ключевые термины и определения

Сценарий – это математическая постановка задачи, описанная в терминах математического программирования (например, линейного)

Сценарий обучающего поднабора – это сценарий из коллекции сценариев, которые используются на обучающей фазе алгоритма машинного обучения

Сценарий тестового поднабора – это сценарий, который используется для построения прогноза с помощью алгоритма машинного обучения

2. Ключевые компоненты платформы SCIP

2.1. Решатель SCIP. Общие сведения

SCIP (Solving Constraint Integer Programs) <https://www.scipopt.org/> – решатель, предназначенный для решения задач *линейного* и *нелинейного* программирования в частично-целочисленной постановке.

2.1.1. Установка решателя SCIP

Решатель проще всего установить вместе с оберткой PySCIPOpt <https://github.com/scipopt/PySCIP0pt> с помощью менеджеров `pip` или `conda`

```
# установить последнюю доступную версию SCIP
$ pip install pyscipopt
$ conda install -c conda-forge pyscipopt
# установить заданную версию SCIP
$ conda install -c conda-forge pyscipopt=3.4.0
```

2.1.2. Приемы работы с решателем SCIP в интерактивной оболочке `scip`

Для того чтобы сделать логи более подробными следует включить следующие строки в конфигурационный файл SCIP

`scip.set`

```
...
display/lpinfo = TRUE
display/ninfeasleaves/active = 2
display/allviols = TRUE
```

2.1.3. Приемы работы с решателем SCIP через обертку PySCIPOpt

Работа над задачей начинается с создания пустого экземпляра модели

```
import pyscipopt  
  
model = pyscipopt.Model()
```

На созданном экземпляре можно вызывать методы чтения модели, конфигурационного файла параметров решателя и т.д.

```
model.readProblem("./problem.lp")  
model.readParams("./scip.set")  
...
```

2.2. Декомпозиционный решатель GCG. Общие сведения

GCG <https://gcg.rwth-aachen.de/#about> – это универсальный декомпозиционный решатель для задач линейного программирования в частично-целочисленной постановке, расширяющий возможности базового решателя SCIP.

Он выявляет структуры в модели, к которым могут быть применены *переформулировка Данцига-Вольфе* или *декомпозиция Бендера*.

Модифицированная постановка задачи (после переформулировки Данцига-Вольфе) решается с помощью обобщения метода ветвей-и-границ, а именно с помощью метода ветвей-штрафов-секущих (branch-price-and-cut), включающего различные механизмы поиска решения – превичные эвристики, стратегии ветвления, стратегии стабилизации, стратегии назначения штрафов и пр.

2.2.1. Установка решателя GCG

Проще всего решатель установить вместе с оберткой PyGCGOpt <https://github.com/scipopt/PyGCGOpt> с помощью менеджера пакетов conda

```
$ conda install -c conda-forge pygcgopt
```

2.2.2. Приемы работы с решателем GCG в интерактивной оболочке gcg

Прочитать постановку задачи

```
GCG> read problem.lp
```

Запустить процедуру редуцирования размерности

```
GCG> presolve
```

Запустить процедуру поиска структур в матрице ограничений

```
GCG> detect
```

Записать постановку задачи сниженной размерности для gnuplot

```
GCG> write problem problem_reduced.gp
```

Фрагмент gp-файла

```

set encoding utf8
set terminal pdf
set output "problem_reduced.pdf"
set xrange [-1:506441]
set yrange[347788:-1]
set object 1 rect from 0,0 to 506441,183384 fc rgb "#1340C7"
set object 3 rect from 163304,183384 to 163306,183385 fc rgb "#718CDB"
set object 4 rect from 163306,183385 to 163308,183386 fc rgb "#718CDB"
set object 5 rect from 163308,183386 to 163310,183387 fc rgb "#718CDB"
set object 6 rect from 163310,183387 to 163312,183388 fc rgb "#718CDB"
set object 7 rect from 163312,183388 to 163314,183389 fc rgb "#718CDB"
set object 8 rect from 163314,183389 to 163316,183390 fc rgb "#718CDB"
set object 9 rect from 163316,183390 to 163318,183391 fc rgb "#718CDB"
set object 10 rect from 163318,183391 to 163320,183392 fc rgb "#718CDB"
set object 11 rect from 163320,183392 to 163322,183393 fc rgb "#718CDB"
...

```

Создать pdf-файл декомпозиции задачи после шага снижения размерности

```
$ gnuplot problem_reduced.gp
```

2.2.3. Приемы работы с решателем GCG через обертку PyGCGOpt

3. Выявленные баги SCIP и тонкости процедуры поиска решения

3.1. Недопустимое решение для релаксированной постановки задачи

По состоянию на 18.06.2022 г. решатель SCIP версии 8.0.0 с оберткой PySCIPOpt версий 4.0.0 и 4.2.0 для операционной системы Windows 10 *релаксированную постановку задачи* (т.е. при снятых ограничениях на целочисленность переменных) оценивает как неспособную привести к допустимому решению.

SCIP версии 7.0.3 (PySCIPOpt 3.4.0) как на операционной системе Windows 10, так и на Unix-подобных операционных системах (в частности, MacOS Monterey 12.1 и Linux Centos 7) решает задачу в релаксированной постановке корректно.

3.2. Неединственность релаксированного решения

Если эвристические приемы строятся на базе релаксированного решения задачи, важно помнить, что релаксированные решения, полученные с помощью различных решателей с точки зрения распределения значений переменных могут существенно различаться¹, не смотря на то, что во всех случаях зазор будет нулевым и целевая функция будет иметь одно и тоже значение (с оговоркой на допуск точности решателя).

3.3. Замечание о стабильности работы решателя SCIP на различных операционных системах

- Вычислительные эксперименты проводились на трех версиях решателя SCIP (7.0.0, 7.0.3, 8.0.0) и трех платформах: Windows 10, MacOS (Monterey 12), Linux (Centos 7). Разброс времени поиска решения для каждой конфигурации решателя оценивается минимум по 3 запускам сценария

¹Потому как гиперплоскость целевой функции может касаться политопа не в вершине, а по грани

- На текущий момент наиболее стабильные и наиболее адекватные результаты получаются
 - для ОС Linux (Centos 7) и ОС MacOS (Monterey12) на решателе SCIP версии 7.0.3 (обертка PySCIPOpt 3.4.0) и платформе Ecolib версии 0.7.3 , собранных для однопоточной реализации
 - для ОС Windows 10 на решателе SCIP версии 8.0.0 (обертка PySCIPOpt 4.0.0), собранном для однопоточной реализации
- Последняя доступная версия решателя SCIP 8.0.0 (PySCIPOpt 4.1.0) на MacOS (Monterey 12.1) и Linux (Centos 7) при тех же настройках, что и для SCIP версии 7.0.3, как правило, работает значительно медленнее (2.5-2.85 раза) и в большинстве случаев либо не успевает найти решение за отведенное время, либо «просаживает» целевую функцию

4. Альтернативные решатели с открытым исходным кодом

4.1. Решатель HIGHS

4.1.1. Установка решателя на Centos 7

Установить решатель HIGHS <https://ergo-code.github.io/HiGHS/get-started.html> можно следующим образом

1. Скачать репозиторий проекта

```
$ git clone https://github.com/ERGO-Code/HiGHS.git
```

2. Установить cmake версии >=3.15

```
# https://cmake.org/download/
$ wget https://github.com/Kitware/CMake/releases/download/v3.24.2/cmake-3.24.2.tar.gz
$ tar -xvf cmake-3.24.2.tar.gz
$ cd cmake-3.24.2
$ ./bootstrap --prefix=/usr --datadir=share/cmake --docdir=doc/cmake && make
$ sudo make install
$ cmake --version # cmake version 3.24.2
```

3. Установить альтернативную версию компилятора gcc (например, версии 7) для сборки проекта

```
# https://linuxize.com/post/how-to-install-gcc-compiler-on-centos-7/
$ gcc --version # gcc (GCC) 4.8.5 20150623 (Red Hat 4.8.5-36)
```

Чтобы получить доступ к альтернативной версии компилятора GCC 7, требуется запустить новый сеанс командной оболочки с помощью утилиты `scl`

```
$ scl enable devtoolset-7 bash
# или для ZSH
# scl enable devtoolset-7 zsh
$ gcc --version # gcc (GCC) 7.3.1 20180303 (Red Hat 7.3.1-5)
```

4. В директории проекта HIGHS создать поддиректорию `build` и запустить из-под нее утилиту `cmake`

```
$ cd HiGHS
$ mkdir build
$ cd build
$ cmake -DFAST_BUILD=ON ..
```

```
$ cmake --build .  
# Чтобы убедиться в том, что сборка прошла успешно, рекомендуется запустить быстрые тесты  
$ ctest
```

В результате будет создан исполняемый файл `build/bin/highs`

5. Добавить путь до утилиты в конфигурационный файл оболочки

`.zshrc`

```
...  
export PATH=${HOME}/Projects/HiGHS/build/bin:$PATH
```

После внесения изменений в конфигурационный файл, можно перечитать конфигурацию сессии

```
$ source .zshrc
```

4.1.2. Приемы работы с решателем

Для запуска решателя в MILP-режиме требуется только передать путь до `*.lp/*.mps`-файла

```
$ highs /path/to/model.lp  
$ highs --help
```

Для запуска решателя в режиме поиска релаксированного решения требуется параметру `--solver` передать название метода (на текущий момент поддерживается только симплекс-метод `simplex` и метод внутренней точки `ipm`)

```
# LP-задача будет решаться методом внутренней точки  
$ highs --solver ipm --model_file 50197df7_bin.lp
```

Запуск решателя в параллельном MILP-режиме, с шагом снижения размерности задачи и ограничением по времени расчета будет выглядеть так

```
$ highs \  
  --model_file 514.lp \  
  --presolve on \  
  --parallel on \  
  --time_limit 950 \  
  --solution_file highs_514.sol
```

Список управляющих параметров решателя доступен на странице документации HiGHS для интерфейса Rust <https://www.maths.ed.ac.uk/hall/HiGHS/HighsOptions.html>

```
HiGHS Options  
presolve  
Presolve option: "off", "choose" or "on"  
type: string, advanced: false, default: "choose"  
solver  
Solver option: "simplex", "choose" or "ipm"  
type: string, advanced: false, default: "choose"  
parallel  
Parallel option: "off", "choose" or "on"  
type: string, advanced: false, default: "choose"  
time_limit  
Time limit  
type: double, advanced: false, range: [0, inf], default: inf  
ranging
```

Compute cost, bound, RHS and basic solution ranging: "off" or "on"
 type: string, advanced: false, default: "off"
 infinite_cost
 Limit on cost coefficient: values larger than this will be treated as infinite
 type: double, advanced: false, range: [1e+15, inf], default: 1e+20
 infinite_bound
 Limit on |constraint bound|: values larger than this will be treated as infinite
 type: double, advanced: false, range: [1e+15, inf], default: 1e+20
 small_matrix_value
 Lower limit on |matrix entries|: values smaller than this will be treated as zero
 type: double, advanced: false, range: [1e-12, inf], default: 1e-09
 large_matrix_value
 Upper limit on |matrix entries|: values larger than this will be treated as infinite
 type: double, advanced: false, range: [1, inf], default: 1e+15
 primal_feasibility_tolerance
 Primal feasibility tolerance
 type: double, advanced: false, range: [1e-10, inf], default: 1e-07
 dual_feasibility_tolerance
 Dual feasibility tolerance
 type: double, advanced: false, range: [1e-10, inf], default: 1e-07
 ipm_optimality_tolerance
 IPM optimality tolerance
 type: double, advanced: false, range: [1e-12, inf], default: 1e-08
 objective_bound
 Objective bound for termination
 type: double, advanced: false, range: [-inf, inf], default: inf
 objective_target
 Objective target for termination
 type: double, advanced: false, range: [-inf, inf], default: -inf
 random_seed
 random seed used in HiGHS
 type: HighsInt, advanced: false, range: {0, 2147483647}, default: 0
 threads
 number of threads used by HiGHS (0: automatic)
 type: HighsInt, advanced: false, range: {0, 2147483647}, default: 0
 highs_debug_level
 Debugging level in HiGHS
 type: HighsInt, advanced: false, range: {0, 3}, default: 0
 highs_analysis_level
 Analysis level in HiGHS
 type: HighsInt, advanced: false, range: {0, 63}, default: 0
 simplex_strategy
 Strategy for simplex solver
 type: HighsInt, advanced: false, range: {0, 4}, default: 1
 simplex_scale_strategy
 Simplex scaling strategy: off / choose / equilibration / forced equilibration / max value 0 /
 max value 1 (0/1/2/3/4/5)
 type: HighsInt, advanced: false, range: {0, 5}, default: 1
 simplex_crash_strategy
 Strategy for simplex crash: off / LTSSF / Bixby (0/1/2)
 type: HighsInt, advanced: false, range: {0, 9}, default: 0
 simplex_dual_edge_weight_strategy
 Strategy for simplex dual edge weights: Choose / Dantzig / Devex / Steepest Edge (-1/0/1/2)
 type: HighsInt, advanced: false, range: {-1, 3}, default: -1
 simplex_primal_edge_weight_strategy
 Strategy for simplex primal edge weights: Choose / Dantzig / Devex (-1/0/1)
 type: HighsInt, advanced: false, range: {-1, 1}, default: -1
 simplex_iteration_limit
 Iteration limit for simplex solver
 type: HighsInt, advanced: false, range: {0, 2147483647}, default: 2147483647


```

simplex_update_limit
Limit on the number of simplex UPDATE operations
type: HighsInt, advanced: false, range: {0, 2147483647}, default: 5000
ipm_iteration_limit
Iteration limit for IPM solver
type: HighsInt, advanced: false, range: {0, 2147483647}, default: 2147483647
simplex_min_concurrency
Minimum level of concurrency in parallel simplex
type: HighsInt, advanced: false, range: {1, 8}, default: 1
simplex_max_concurrency
Maximum level of concurrency in parallel simplex
type: HighsInt, advanced: false, range: {1, 8}, default: 8
output_flag
Enables or disables solver output
type: bool, advanced: false, range: {false, true}, default: true
log_to_console
Enables or disables console logging
type: bool, advanced: false, range: {false, true}, default: true
solution_file
Solution file
type: string, advanced: false, default: ""
log_file
Log file
type: string, advanced: false, default: "Highs.log"
write_solution_to_file
Write the primal and dual solution to a file
type: bool, advanced: false, range: {false, true}, default: false
write_solution_style
Write the solution in style: 0=>Raw (computer-readable); 1=>Pretty (human-readable)
type: HighsInt, advanced: false, range: {0, 1}, default: 0
mip_detect_symmetry
Whether symmetry should be detected
type: bool, advanced: false, range: {false, true}, default: true
mip_max_nodes
MIP solver max number of nodes
type: HighsInt, advanced: false, range: {0, 2147483647}, default: 2147483647
mip_max_stall_nodes
MIP solver max number of nodes where estimate is above cutoff bound
type: HighsInt, advanced: false, range: {0, 2147483647}, default: 2147483647
mip_max_leaves
MIP solver max number of leave nodes
type: HighsInt, advanced: false, range: {0, 2147483647}, default: 2147483647
mip_lp_age_limit
maximal age of dynamic LP rows before they are removed from the LP relaxation
type: HighsInt, advanced: false, range: {0, 32767}, default: 10
mip_pool_age_limit
maximal age of rows in the cutpool before they are deleted
type: HighsInt, advanced: false, range: {0, 1000}, default: 30
mip_pool_soft_limit
soft limit on the number of rows in the cutpool for dynamic age adjustment
type: HighsInt, advanced: false, range: {1, 2147483647}, default: 10000
mip_pscost_minreliable
minimal number of observations before pseudo costs are considered reliable
type: HighsInt, advanced: false, range: {0, 2147483647}, default: 8
mip_report_level
MIP solver reporting level
type: HighsInt, advanced: false, range: {0, 2}, default: 1
mip_feasibility_tolerance
MIP feasibility tolerance
type: double, advanced: false, range: [1e-10, inf], default: 1e-06

```

```
mip_heuristic_effort
effort spent for MIP heuristics
type: double, advanced: false, range: [0, 1], default: 0.05
```

TODO: При запуске решателя в режиме поиска релаксированного решения процесс зависает, если заданы параметры, управляющие подробностью вывода

- `highs_debug_level = 2`,
- `mip_report_level = 2`

Задать значения управляющих параметров можно в set-файле HiGHS

highs.set

```
time_limit = 7200
simplex_iteration_limit = 10000
ipm_iteration_limit = 5000
...
```

Теперь для запуска решателя в специфицированном режиме остается только передать путь до файла настроек параметру `--options_file`

```
$ highs --model_file 496.lpl --options_file highs.set
```

4.2. Решатель OPTIMUS (Scala)

5. Сжатая сводка результатов вычислительных экспериментов

Все эксперименты проводились на ОС Linux Centos 7 Intel Core™ i7 (8 CPUs), 3.6GHz; RAM 32Gb. Использовался MILP-решатель SCIP 7.0.3 (Python-обертка PySCIPOpt 3.4.0) и Python 3.8.0.

Развернутая сводка результатов приводится по ссылке https://docs.google.com/document/d/16p8_VjZaHCBdDwo_YNZaEpZVFgmLyDi5A6104gX3zK8/edit?usp=sharing

Обозначения

- CBC+DOH – доменно-ориентированные эвристики, работающие поверх решателя CBC.
- CBC+MS - мера подобия релаксированного решения, работающая поверх решателя CBC.
- SCIP(d) – решатель SCIP с настройками по умолчанию.
- SUN – метаконфигурация, работающая поверх решателя SCIP: подавляется подгруппа первичных эвристик низкой эффективности.
- FZBIVSUHPB – метаконфигурация, работающая поверх решателя SCIP: подавляется подгруппа первичных эвристик низкой эффективности; при ветвлении и разрешении конфликтов решатель отдает предпочтение бинарными переменным; фиксируются нулевые бинарные и целочисленные переменные релаксированного решения.
- EAD(contamination; file_name) – модель машинного обучения, работающая поверх решателя SCIP: подавляется подгруппа первичных эвристик низкой эффективности; при ветвлении и разрешении конфликтов решатель отдает предпочтение бинарными переменным; частично-заданное решение на фиксациях строится на основании прогноза ансамбля детекторов аномалий; contamination – доля аномальных экземпляров в наборе данных, file_name – имя lp-файла математической постановки, на котором обучался ансамбль детекторов аномалий.

- `Detector_name(contamination; file_name)` – детектор аномалий, работающий поверх решателя SCIP: подавляется подгруппа первичных эвристик низкой эффективности; при ветвлении и разрешении конфликтов решатель отдает предпочтение бинарными переменным; частично-заданное решение на фиксациях строится на основании прогноза детектора аномалий; `contamination` – доля аномальных экземпляров в наборе данных, `file_name` – имя `lp`-файла математической постановки, на котором обучался детектор аномалий.
- RELAX – релаксированное решение, найденное с помощью решателя SCIP.

Выводы

1. На всех сценариях группы ИКП метаконфигурация FZBIVSUNPB помогает решателю SCIP найти более низкое значение целевой функции и за меньшее время.
2. На всех сценариях группы ИКП (за исключением сценариев `a78cbead_bin.lp`, `7fac4231_bin.lp` и `50197df7_bin.lp`) ансамбль детекторов аномалий без подбора параметра контаминации `EAD(0.10; f398266b_bin.lp)` помогает решателю SCIP найти более низкое значение целевой функции и за меньшее время. На сценариях `a78cbead_bin.lp`, `7fac4231_bin.lp` и `50197df7_bin.lp` прием `EAD` не смог найти решение за отведенное время.
3. На сценариях `514.lp`, `519.lp`, `a78cbead_bin.lp`, `7fac4231_bin.lp` и `50197df7_bin.lp` изолированные детекторы аномалий помогают решателю SCIP найти более низкое значение целевой функции и за меньшее время.
4. На сценариях `514.lp`, `519.lp`, `a78cbead_bin.lp`, `7fac4231_bin.lp` и `50197df7_bin.lp` изолированные детекторы аномалий находят решения, которые по сравнению с решениями, полученными средствами `CBC+DOH(MS)`, оказываются лучше в среднем на 50.73% по временным издержкам и в среднем на 6.32% – по целевой функции.
5. На всех сценариях группы ИКП (за исключением сценариев `514.lp` и `519.lp`) метаконфигурация FZBIVSUNPB находит решения, которые оказываются нехуже решений, полученных с помощью `CBC+DOH(MS)`, как с точки зрения полного времени расчета (среднее улучшение 62.16%), так и с точки зрения целевой функции (среднее улучшение 7.03%). На сценарии `514.lp` метаконфигурация получает решение, которое только по целевой функции (+18.616%) превосходит решение, найденное средствами `CBC+DOH(MS)`. На сценарии `519.lp` решение метаконфигурации уступает решению, найденному с помощью `CBC+DOH(MS)` и по временным издержкам (-14.29%) и по целевой функции (-2.302%).

6. Приемы поиска решения

6.1. Прием фиксации бинарно-целочисленных переменных в релаксированном решении

Часто фиксация целочисленных переменных² в релаксированном решении приводит к приемлемому допустимому целочисленному решению, которое потом можно использовать как «теплый старат» или как базовое решение для других схем фиксации.

```
ZERO = 0.0
...
relax_sol: pd.Series = read_relax_sol(path_to_relax_sol)

model = pyscipopt.Model()
```

²Вообще говоря, фиксировать можно не только бинарные и целочисленные переменные

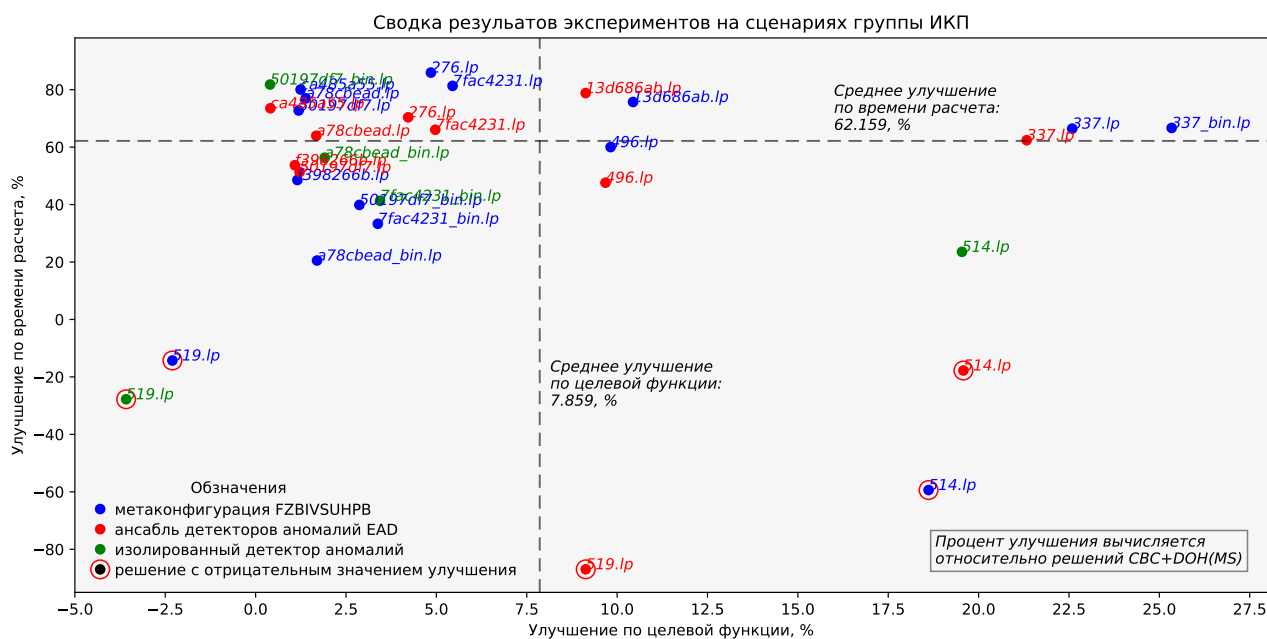


Рис. 1. Сводка результатов вычислительных экспериментов на сценариях группы ИКП

```
model.readProblem(path_to_lp_file)
model.readParams(path_to_set_file)

all_vars: t.List[pyscipopt.scip.Variable] = model.getVars()
bin_vars: t.List[pyscipopt.scip.Variable] = extract_vars_set_type(all_vars, BINARY)
int_vars: t.List[pyscipopt.scip.Variable] = extract_vars_set_type(all_vars, INTEGER)

all_zero_bin_vars: t.List[
    pyscipopt.scip.Variable
] = extract_from_relax_sol_zero_vars(
    relax_sol,
    sub_group_vars=bin_vars,
)
all_zero_int_vars: t.List[
    pyscipopt.scip.Variable
] = extract_from_relax_sol_zero_vars(
    relax_sol,
    sub_group_vars=int_vars,
)

for var in all_zero_bin_vars + all_zero_int_vars:
    model.fixVar(var, ZERO)

model.optimize()
...
```

6.2. Прием подавления подгруппы первичных эвристик низкой эффективности

В некоторых случаях отдельные первичные эвристики могут оказаться не способными справиться со своей задачей, не оказывая никакого влияния на процедуру поиска решения, и все же потреблять предоставленные ресурсы.

Такие эвристики – условимся их называть первичными эвристиками низкой эффективности (ПЭНЭ) – можно выявить путем анализа статистической сводки `stat`-файла в разделе Primal Heuristics

Фрагмент файла статистической сводки 337_bin_default.stat

```
...
Primal Heuristics :   ExecTime   SetupTime       Calls       Found       Best
LP solutions      :         0.00         -         -         0         0
relax solutions   :         0.00         -         -         0         0
pseudo solutions  :         0.00         -         -         0         0
...
conflictdiving    :         0.00         0.00         0         0         0
crossover         :         0.00         0.00         0         0         0
dins              :         0.00         0.00         0         0         0
distributiondivin :         0.00         0.00         0         0         0
dualval          :         0.00         0.00         0         0         0
farkasdiving      :        2032.89         0.00         1         0         0 # <- NB
feaspump          :         882.12         0.00         1         0         0 # <- NB
fixandinfer       :         0.00         0.00         0         0         0
...
intdiving         :         0.00         0.00         0         0         0
intshifting       :         52.99         0.00         1         1         1
...
```

В данном случае ПЭНЭ являются `farkasdiving` и `feaspump`. Чтобы подавить эти эвристики при следующем запуске `SCIP`, достаточно включить следующие строки в конфигурационный файл `scip.set`³

scip.set

```
...
heuristics/farkasdiving/freq = -1
heuristics/feaspump/freq = -1
...
```

Доступ к статистической сводке можно получить либо в сессии `SCIP`, либо через одну из оберток над решателем (например, с помощью `PySCIPOpt`)

Фрагмент сессии `scip`. Получение статистической сводки

```
...
SCIP> read file.lp
SCIP> opt
SCIP> display stat
```

Получение статистической сводки через обертку `PySCIPOpt`

```
import pyscipopt

model = pyscipopt.Model()
model.readProblem("...")
model.readParams("...")
model.optimize()

model.printStatistics()
```

³При запуске интерактивной сессии через утилиту командной строки `scip`, решатель ищет этот файл в текущей директории и, если находит, автоматически вычитывает. При работе через `PySCIPOpt` требуется явно передавать путь до файла методу модели `readParams()`

6.3. Прием подбора порога бинаризации для бинарных переменных в релаксированном решении

Условимся *фиксацией* называть стратегию инициализации подгруппы переменных x_k (вещественных, бинарных или целочисленных), значения которых задаются на основе каких-либо эвристических соображений, например, касающихся специальных свойств матрицы ограничений, и способных в результате привести к такой постановке задачи, которую, используя механизмы первичных эвристик, сепараторов, пропагаторов и пр. можно развить в *допустимое целочисленное решение*.

Базовая идея построения *фиксации на бинарных переменных* заключается в том, чтобы значения бинарных переменных в релаксированном решении⁴ $\{r x_k^{(b)}\}_{k=1,\dots}$ интерпретировать как *степень уверенности* решателя в том, что рассматриваемую бинарную переменную можно выставить в единицу.

Если значение k -ой бинарной переменной $r x_k^{(b)}$ превосходит некоторый *порог* θ , то переменная выставляется в единицу, в противном случае – в ноль. Порог подбирается итерационно, начиная с некоторого нижнего значения θ_l (по умолчанию $\theta_l = 0$), увеличивая текущее значение порога на величину шага $\Delta\theta$ и заканчивая верхним значением порога θ_u (по умолчанию $\theta_u = 1$).

Для практических целей достаточно остановиться на наименьшем значении порога θ , который отвечает такой фиксации, которую решатель SCIP не отклоняет как неспособную привести к допустимому целочисленному решению.

Фрагмент лога решателя SCIP для случая фиксации, которую невозможно развить в допустимое целочисленное решение

```
...
SCIP Status      : problem is solved [infeasible]
Solving Time (sec) : 3.00
Solving Nodes    : 0
Primal Bound     : +1.0000000000000000e+20 (0 solutions)
Dual Bound       : +1.0000000000000000e+20
Gap              : 0.00 %
original problem has 740251 variables (2666 bin, 147789 int, 0 impl, 589796 cont) and 545350
constraints
...
```

После того как порог θ подобран, бинарные переменные разбиваются на две подгруппы: подгруппу бинарных переменных, выставленных в ноль $\{x_k^{(b_0)}\}$, и подгруппу бинарных переменных, выставленных в единицу $\{x_k^{(b_1)}\}$. Долю бинарных переменных, выставленных в ноль обозначим через δ_{b_0} , долю бинарных переменных, выставленных в единицу – через δ_{b_1} , а целевую функцию, найденную при заданных долях – через $f_\theta(\delta_{b_0}, \delta_{b_1})$.

В результате получаем исследовательский инструмент, который дает возможность управлять решением через подбор долей δ_{b_0} и δ_{b_1} при найденном пороге θ . Часто оказывается эффективным прием управления решением через подбор доли нулевых бинарных переменных δ_{b_0} .

Целевая функция, вычисленная при единичной доле нулевых бинарных переменных $f_\theta(\delta_{b_0} = 1)$, как правило, значительно уступает целевой функции релаксированного решения f_r . Но тем не менее это решение может быть улучшено, сокращением доли δ_{b_0} (см. рис. 2 и рис. 3).

⁴Верхний левый индекс « r » указывает на релаксированное значение, а верхний правый « (b) » – на то, что речь идет о бинарной переменной

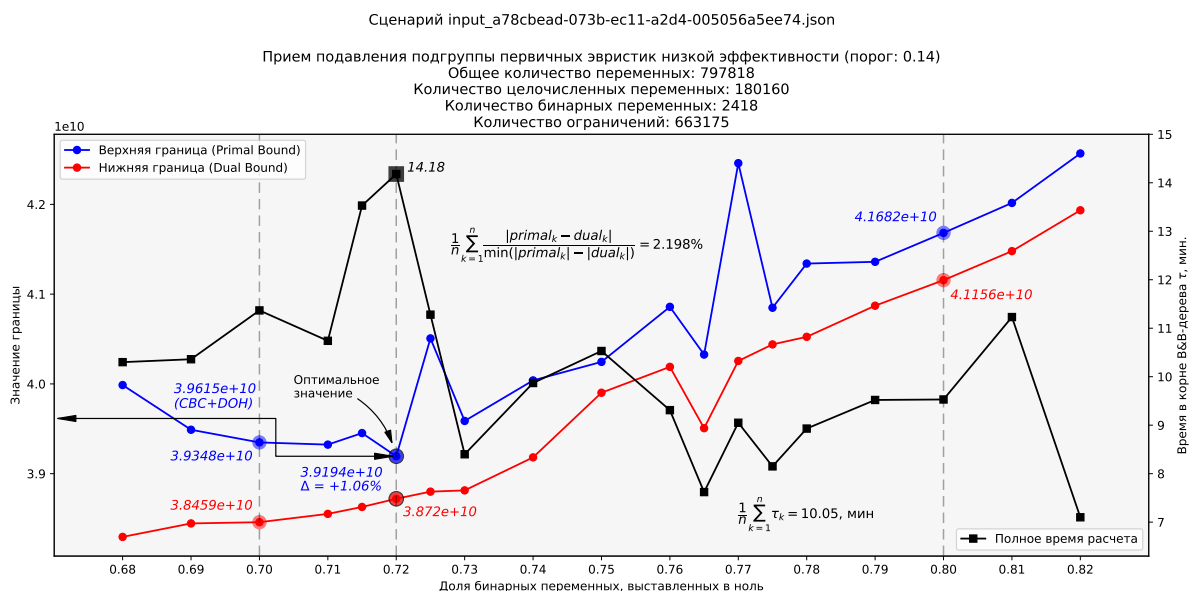


Рис. 2. Зависимость верхней границы решения от доли бинарных переменных, выставленных в ноль. Сценарий a78cbead

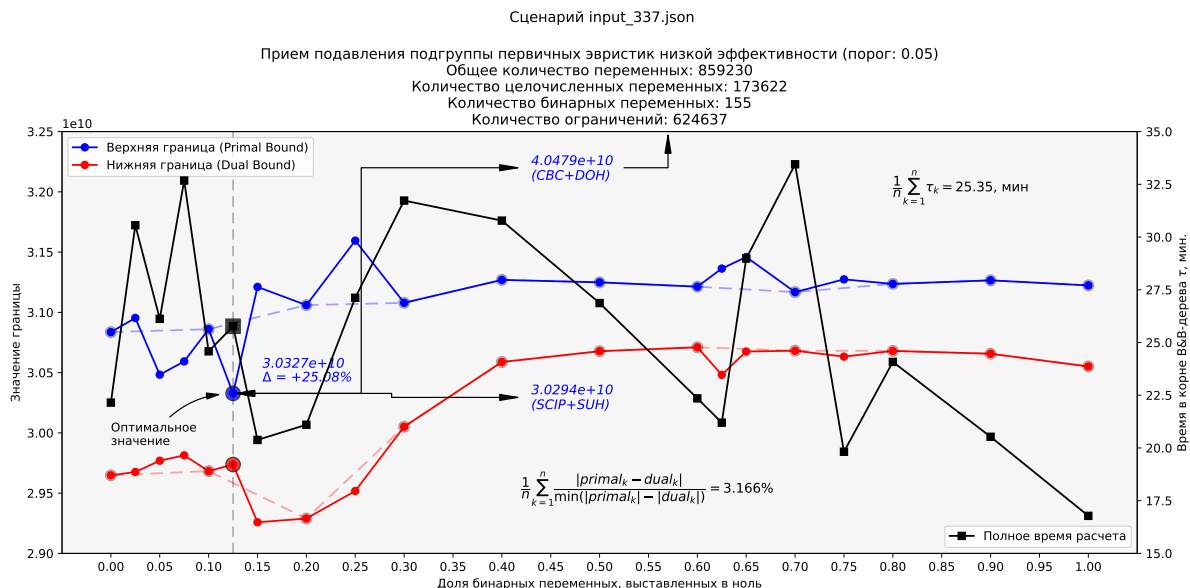


Рис. 3. Зависимость верхней границы решения от доли бинарных переменных, выставленных в ноль. Сценарий 337

Как видно из графиков, на кривой изменения верхней границы решения существует точка с наименьшим значением целевой функции $f_{\theta}(\delta_{b_0})$ допустимого целочисленного решения. Эта точка и будет «оптимальной» для рассматриваемого сценария.

7. Методы машинного обучения в задачах комбинаторной оптимизации

7.1. Постановка задачи

Цель: Разработать процедуру построения частично-заданного решения на фиксациях для сценариев с матрицей ограничений произвольной структуры.

Вход: произвольная матрица ограничений⁵.

Выход: набор бинарных и целочисленных переменных, фиксация которых в ноль с высокой вероятностью приведет к допустимому целочисленному решению.

База: частично-заданное решение, построенное на фиксациях нулевых бинарных и целочисленных переменных в релаксированном решении.

7.2. Концепт матрицы признаков описания бинарных и целочисленных переменных

В качестве признаков бинарно-целочисленных переменных предлагается использовать:

1. *важный признак* Значение переменной x_i в «усредненном» релаксированном решении⁶,
2. Модифицированную Z-оценку на «усредненном» релаксированном решении,
3. *бесполезный признак* Дробную часть значения переменной x_i в «усредненном» релаксированном решении,
4. *важный признак* Пороги бинаризации на «усредненном» релаксированном решении (каждый порог это отдельный признак),
5. *важный признак* Число ограничений n_i , в которые входит рассматриваемая переменная x_i ,
6. *важный признак* Число положительных n_i^+ и отрицательных n_i^- коэффициентов в ограничениях, ассоциированных с рассматриваемой переменной x_i ,
7. Булев маркер удаления переменной x_i после шага снижения размерности задачи,
8. *важный признак* Коэффициент c_i при переменной x_i в целевой функции $\mathbf{c}^T \mathbf{x}$,
9. *бесполезный признак* Вероятность⁷ того, что i -ая бинарная или целочисленная переменная x_i будет выставлена в 1 (индекс « $-i$ » означает без учета i -ой переменной)

$$\mathbf{P}(x_i = 1) = \sigma\left(\frac{1}{t} (\mathbf{c}^T \mathbf{x})_{-i}\right),$$

где σ – логистический сигмоид, t – «температура» (чем выше температура, тем случайнее выход), \mathbf{c} – вектор коэффициентов целевой функции, \mathbf{x} – вектор значений переменных в релаксированном решении.

10. Важность x_i переменной с точки зрения пресолверов.

7.3. Стратегии решения задачи

7.3.1. Стратегия №1. Обнаружение аномалий

Задачу построения частично-заданного решения на фиксациях предлагается свести к задаче обнаружения аномалий в данных. Бинарные и целочисленные переменные, которые как ожидается примут *нулевые значения* в допустимом целочисленном решении будем считать «штатным» режимом, а бинарные и целочисленные переменные, которые как ожидается примут *ненулевые значения* в допустимом целочисленном решении – аномалиями. Такие «аномальные» экземпляры остаются без рекомендуемого значения для фиксации, а оставшиеся нулевые «штатные»

⁵Предполагается, что матрица ограничений имеет низкую меру обусловленности

⁶Задача линейного программирования в релаксированной постановке решается с использованием различных методов (двойственный симплекс-метод, метод внутренней точки и т.д.), а затем полученные решения усредняются

⁷Идея построения признака основана на способе вычисления вероятности единичного выхода нейрона в машинах Больцмана [2, стр. 653]

бинарные и целочисленные переменные фиксируются в ноль и на этом процедура построения частично-заданного решения считается завершенной.

Для повышения надежности прогноза предлагается использовать ансамбль детекторов аномалий. Решение о фиксации бинарной или целочисленной переменной в ноль принимается на основании большинства голосов ансамбля детекторов.

Набор данных представляет собой неупорядоченную коллекцию матриц признакового описания, ассоциированных с соответствующими *lp/mps*-файлами математической постановки задачи (условимся называть их *сценариями*).

Ансамбль детекторов аномалий обучается по роторной схеме:

- На i -ой итерации все *матрицы признакового описания* (всего в наборе S матриц/сценариев) кроме i -ой матрицы используются для обучения детекторов, а на i -ой матрице признакового описания строится прогноз аномальных экземпляров, которые помечаются как «-1». В результате получается коллекция бинарных и целочисленных переменных, помеченных либо как «0», либо как «-1». Построенное решение сравнивается с допустимым целочисленным решением с помощью различных метрик качества (параметрическое гармоническое среднее, капша Коэна, коэффициент корреляции Метьюса и т.д.). Вычисленные для i -ой матрицы метрики качества и построенное частично-заданное решение на фиксациях сохраняются в директории результатов,
- Затем описанный шаг повторяется для оставшихся матриц признакового описания объекта. По окончании процедуры для каждого сценария:
 - будут вычислены метрики качества,
 - будет построено частично-заданное решение на фиксациях,

Полученные частично-заданные решения на фиксациях подаются на вход решателю SCIP. Если SCIP удалось найти решение, обозначаемое как s_{ML} , то оно сравнивается с решением s_{FZB} , полученным с помощью метаконфигурации FZBIVSUNPB (см. подраздел 8.2), по времени работы и по значению верхней границы решения.

Замечание

Как правило, в задачах обнаружения аномалий не выполняют подбор гиперпараметров детектора, но в данном случае кажется полезным изучить поведение детектора хотя бы в зависимости от параметра контаминации. Дело в том, что на практике эффективность детектора может существенно изменяться в зависимости от значений управляющих параметров

На всех сценариях группы ИКП (см. раздел 8) обнаруживается серьезный дисбаланс экземпляров положительного («аномалии», ненулевые значения переменных) и отрицательного («штатные» экземпляры, нулевые значения переменных) классов. Ожидается, что эффективность модели машинного обучения главным образом будет зависеть от способности модели выявлять аномальные экземпляры.

Действительно, *ошибка первого рода* (ложное срабатывание, т.е. когда отрицательный «штатный» экземпляр принимается за «аномальный» положительный) приводит к тому, что нулевая переменная *не будет* зафиксирована в ноль в частично-заданном решении, что с высокой вероятностью снизит производительность решателя SCIP.

Тогда как *ошибка второго рода* (пропуск объекта, т.е. когда «аномальный» положительный экземпляр принимается за «штатный» отрицательный) приводит к тому, что ненулевая переменная в частично-заданном решении будет зафиксирована в ноль. Это сделает частично-заданное решение не способным развиваться в допустимое целочисленное, что значительно хуже.

Таким образом, кажется разумным сосредоточить усилия на том, чтобы минимизировать ошибку второго рода, и в результате свести к минимуму число пропусков аномалий.

Проще всего оценить качество модели с учетом большего влияния ошибок второго рода с помощью F_β -меры при значениях параметра $\beta > 1$

$$F_\beta = (1 + \beta^2) \frac{\text{precision} \cdot \text{recall}}{\beta^2 \text{precision} + \text{recall}},$$

где precision – точность, recall – полнота.

Замечание

Провести анализ приема подбора порога бинаризации. И проработать схему подбора гиперпараметров детекторов

Анализ производительности методов обнаружения аномалий Рекомендуемые значения некоторых гиперпараметров для детекторов некоторых семейств звучат следующим образом [3]:

- для KNN (k Nearest Neighbors⁸) и LOF (Local Outlier Factor): $k = \max(10; 0.03 |D|)$, где $|D|$ – число экземпляров в наборе данных,
- для HBOS (Histogram-based Outlier Score): $n_bins = \sqrt{|D|}$,
- для IForest (Isolation Forest): число деревьев $n_estimators=100$ и число экземпляров на дерево $max_samples=256$,
- для CBLOF (Clustering-Based Local Outlier Factor): $\alpha = 0.90$, $\beta = 5$ и $k = 10$,
- для OCSVM (One-Class Support Vector Machines): ядро RFB($\nu = 0.5$, $\gamma = 1/m$), где m – число признаков в наборе данных D .

Перечисленные ниже детекторы показали крайне низкую производительность на сценариях группы ИКП:

- KNN,
- Feature Bagging,
- ABOD (Angle-Based Outlier Detection using approximation)/FastABOD,
- LOCI (Fast outlier detection using the local correlation integral),
- CBLOF (Clustering-Based Local Outlier Factor): достаточно быстрый, но результаты отвратительные (очень низкие значения ключевых метрик качества),
- XGBOOST⁹ (Extreme Boosting Based Outlier Detection): безумно медленный¹⁰,
- R-Graph (Outlier detection by R-graph).

Главный детектор аномалий предлагается строить с помощью агрегатора SUOD¹¹ (Accelerating Large-scale Unsupervised Heterogeneous Outlier Detection) на следующих базовых детекторах:

- ECOD (Unsupervised Outlier Detection Using Empirical Cumulative Distribution Functions),
- COPOD (Copula-Based Outlier Detection),
- IForest (Isolation Forest),
- HBOS (Histogram-based Outlier Score).

⁸Расстояние от k -ого ближайшего соседа рассматривается как мера аномальности экземпляра

⁹Требует разметки

¹⁰В <https://github.com/yzhao062/pyod/issues/152> рекомендуется использовать SUOD

¹¹<https://www.andrew.cmu.edu/user/yuezhao2/papers/21-mlsys-suod.pdf>

7.3.2. Стратегия №2. Бинарная классификация со слабо выраженным миноритарным классом

Задачу построения частично-заданного решения на фиксациях предлагается свести к задаче бинарной классификации со слабо выраженным миноритарным классом (данные с сильным дисбалансом).

Раздел в разработке ...

7.4. Трансфер выявленного паттерна. Сценарии группы СОП

Условимся *трансфером выявленного паттерна* (или просто *трансфером паттерна*) называть явление, состоящее в том, что модель, обученная на сценариях одной группы (сценарии обучающего поднабора), оказывается способной строить корректные прогнозы на сценариях другой группы (сценарии тестового поднабора), обладающих четкими дискриминирующими атрибутами (структурные особенности матрицы ограничений и пр.), которые позволяют с высокой степенью уверенности отделять сценарии обучающего поднабора от сценариев тестового поднабора.

Другими словами, в отличие от классической постановки машинного обучения – в которой экземпляры обучающего и тестового поднаборов данных должны быть похожи друг на друга – в данном случае модель машинного обучения предлагается обучать и тестировать на сценариях, которые значительно отличаются друг от друга по каким-то ключевым атрибутам.

7.4.1. Сценарий tmpfvprqodxw.lp без бинарных переменных

Исследование вопроса о трансфере паттерна начнем с рассмотрения простого сценария группы СОП tmpfvprqodxw.lp <https://disk.yandex.ru/d/K7bvClpltotqlg>, а обучать модель машинного обучения будем в соответствии со стратегией №1 (стр. 16).

В случае сценария tmpfvprqodxw.lp для простоты можно ограничиться рассмотрением только детектора HBOS (без агрегации прогнозов других детекторов с помощью обертки SUOD) и обучать его на сценарии группы ИКП f398266b_bin.lp (см. раздел 8.2.4).

Для того чтобы использовать не ансамбль детекторов аномалий, а лишь какой-то конкретный детектор, достаточно в конфигурационном файле main_config.yaml передать полю use детектора значение False

main_config.yaml. Использовать только детектор HBOS

```
...
detector_config:
  # Строит ансамбль детекторов аномалий
  SUOD: # Scalable Unsupervised Outlier Detection https://www.andrew.cmu.edu/user/yuezhao2/
    papers/21-mlsys-suod.pdf
    use: !!bool False # <--- NB
    # Допустимые значения 'combination': average, maximization
    combination: !!str average # стратегия агрегации прогнозов ансамбля детекторов
    contamination: !!float 0.10 # доля выбросов в наборе данных; принимает значения из диапазон
    а (0.0; 0.5)
    n_jobs: -1 # число параллельно выполняемых задач
    verbose: !!bool True # флаг подробного вывода информации о построении модели
  # Перечень детекторов для SUOD-ансамбля. Если SUOD.use=True, то перечисленные ниже детекторы,
  у которых
  # атрибут DETECTOR.use=True, будут добавлены в список SUOD().base_estimators.
  # Если SUOD.use=False, то поиск аномалий будет выполняться с помощью одного из приведенных ниж
  е детекторов,
```

```
# у которого атрибут DETECTOR.use=True
COPOD: # Copula Based Outlier Detector
  use: !!bool False # <--- NB
  contamination: !!float 0.10 # доля выбросов в наборе данных; принимает значения из диапазон
  а (0.0; 0.5)
  n_jobs: -1 # число параллельно выполняемых задач
ECOD: # Unsupervised Outlier Detection Using Empirical Cumulative Distribution Functions
  use: !!bool False # <--- NB
  contamination: !!float 0.10 # доля выбросов в наборе данных; принимает значения из диапазон
  а (0.0; 0.5)
  n_jobs: -1 # число параллельно выполняемых задач
IForest: # Wrapper of scikit-learn Isolation Forest with more functionalities
  use: !!bool False # <--- NB
  n_estimators: !!int 250 # число деревьев принятия решений в лесе
  contamination: !!float 0.10 # доля выбросов в наборе данных; принимает значения из диапазон
  а (0.0; 0.5)
  n_jobs: -1 # число параллельно выполняемых задач
HBOS: # Histogram-based outlier detection
  use: !!bool True # <--- NB
  n_bins: !!int 10 # число бинов для построения гистограммы
  alpha: !!float 0.05 # параметр регуляризации
  contamination: !!float 0.10 # доля выбросов в наборе данных; принимает значения из диапазон
  а (0.0; 0.5)
```

Приведенный на рис. 4 график показывает, что

- о настройки решателя SCIP, ответственные за выбор переменных при ветвлении¹² и разрешении конфликтов¹³, а также прием подавления подгруппы первичных эвристик низкой эффективности помогают снизить временные издержки при незначительном ухудшении целевой функции (зеленая кривая) относительно решения, полученного с помощью решателя SCIP с настройками по умолчанию (красная кривая),
- о дополнительное снижение временных затрат можно получить подбором гиперпараметров детектора¹⁴ (синяя кривая).

Детектору аномалий HBOS с подбором параметра контаминации (`contamination=0.04`)¹⁵ удалось снизить количество бинарных переменных – на 98, ограничений – на 177, а временные издержки снизились в 2.38 раза.

7.4.2. Синтетический сценарий 1664182546_82382.lp с бинарными переменными

Статистика¹⁶

Общее количество переменных: 5100 (4123)

Количество целочисленных переменных: 0 (0)

Количество бинарных переменных: 1768 (1132)

Количество ограничений: 11193 (10461)

lp-файл: <https://disk.yandex.ru/d/FuEBWt4zvFIseA>

Блок подавления подгруппы первичных эвристик низкой эффективности конфигурационного файла SCIP

¹²Параметр `branching/preferbinary`

¹³Параметр `conflict/preferbinar`

¹⁴В данном случае подбирался только гиперпараметр контаминации

¹⁵В библиотеке PyOD все детекторы аномалий имеют контаминацию уровня 0.10

¹⁶В скобках указана размерность задачи после шага пресолвинга с фиксацией, полученной с помощью ансамбля детекторов аномалий без подбора гиперпараметров детекторов

Сценарий tmpfvpqodxw.lp (обучение на f398266b_bin.lp)

Общее количество переменных: 5308
Количество целочисленных переменных: 1197
Количество бинарных переменных: 0
Количество ограничений: 13065

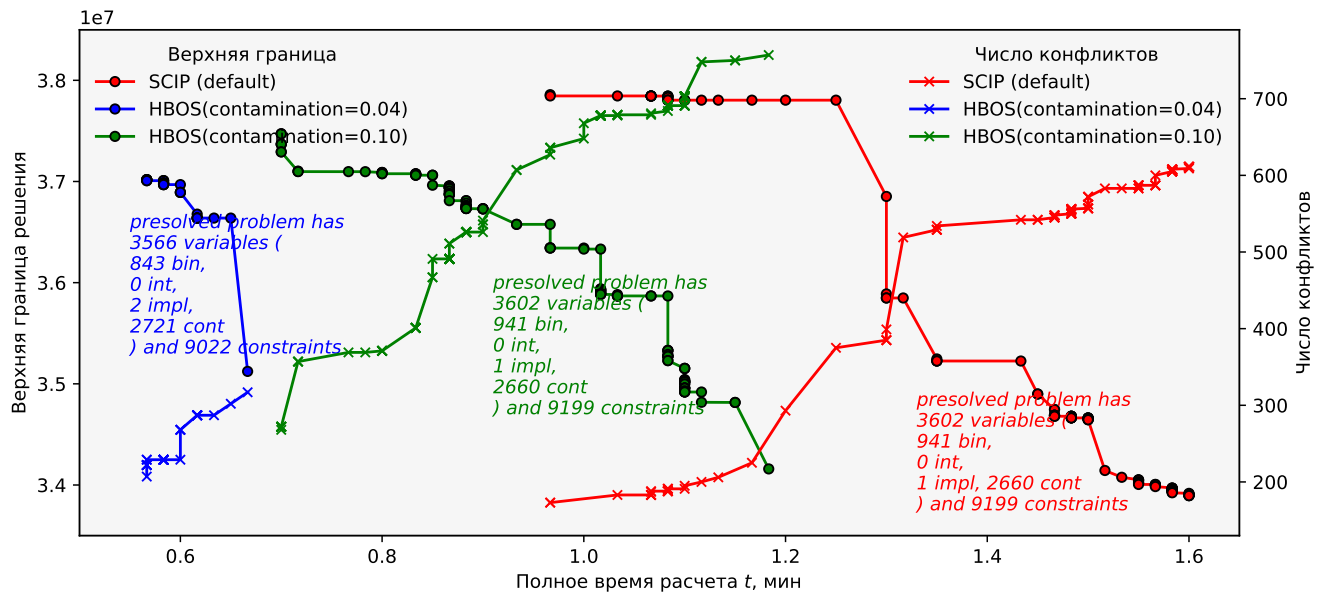


Рис. 4. Сводка результатов вычислительных экспериментов на сценарии группы СОП tmpfvpqodxw.lp

Фрагмент файла scip.set. Сценарий 1664182546_82382.lp

```
...
heuristics/adaptivediving/freq = -1
heuristics/fracdiving/freq = -1
heuristics/linesearchdiving/freq = -1
heuristics/objpscostdiving/freq = -1
heuristics/pscostdiving/freq = -1
heuristics/rootsoldiving/freq = -1
heuristics/veclendiving/freq = -1
```

На рис. 5 приведены результаты сравнительного анализа запусков i) решателя SCIP с настройками по умолчанию, ii) решателя SCIP на частично-заданном решении, полученном с помощью ансамбля детекторов аномалий, и iii) решателя SCIP на фиксации, подготовленной с помощью изолированного детектора HBOS.

Как видно из рисунка, решатель SCIP с настройками по умолчанию (синяя кривая) первое допустимое целочисленное решение с адекватным зазором находит гораздо позже схемы на частично-заданном решении, полученном с помощью ансамбля детекторов (красная кривая). Однако, спустя некоторое время схема с настройками по умолчанию быстрее выходит на конкурентное значение целевой функции (41389.75 против 41557.30).

Схема с подбором гиперпараметра контаминации изолированного детектора HBOS, несмотря на то, что размерность задачи снижается, приводит к очень слабому решению.

Вывод по сценарию: принимая во внимание, что ансамбль детекторов аномалий обучался лишь на одном сценарии группы ИКП, который существенно и с точки зрения размерности, и с точки зрения структуры матрицы ограничений отличается от сценария, на котором строился

прогноз модели, допустимо говорить о трансфере/переносе шаблона, выявленного на сценарии f398266b_bin.lp группы ИКП.

Сценарий 1664182463_82382.lp (обучение на f398266b_bin.lp)

Общее количество переменных: 5100
Количество целочисленных переменных: 0
Количество бинарных переменных: 1768
Количество ограничений: 11193

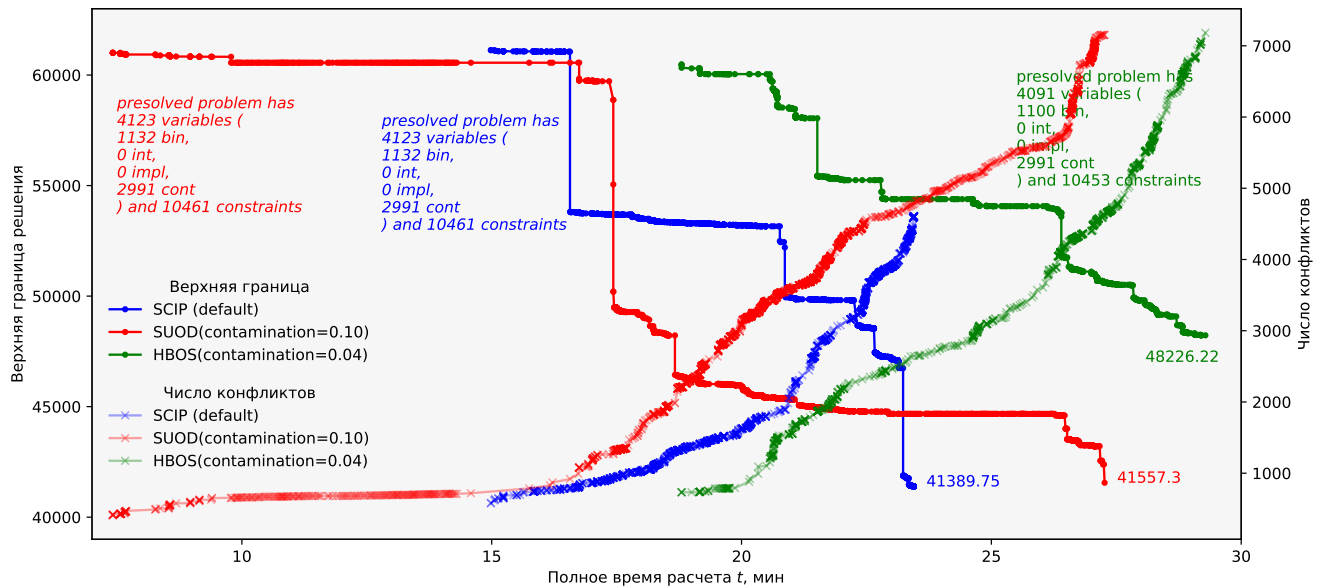


Рис. 5. Сводка результатов вычислительных экспериментов на сценарии группы СОП 1664182546_82382.lp

7.4.3. Синтетический сценарий 1664182533_1587787.lp с бинарными переменными

Статистика¹⁷

Общее количество переменных: 4759 (3780)

Количество целочисленных переменных: 0 (0)

Количество бинарных переменных: 1701 (1063)

Количество ограничений: 10307 (9581)

lp-файл: <https://disk.yandex.ru/d/n0Dqn6pr6GK9mg>

Блок подавления подгруппы первичных эвристик низкой эффективности конфигурационного файла SCIP

Фрагмент файла scip.set. Сценарий 1664182533_1587787.lp

```
...
heuristics/adaptivediving/freq = -1
heuristics/fracdiving/freq = -1
heuristics/linesearchdiving/freq = -1
heuristics/objpscostdiving/freq = -1
heuristics/pscostdiving/freq = -1
heuristics/rootsoldiving/freq = -1
heuristics/veclendiving/freq = -1
```

¹⁷В скобках указана размерность задачи после шага пресолвинга с фиксацией, полученной с помощью ансамбля детекторов аномалий без подбора гиперпараметров детекторов

На рис. 6 приведены результаты сравнительного анализа запусков i) решателя SCIP с настройками по умолчанию, ii) решателя SCIP на частично-заданном решении, полученном с помощью ансамбля детекторов аномалий, и iii) решателя SCIP на фиксации, подготовленной с помощью изолированного детектора HBOS.

Здесь схема с настройками по умолчанию проигрывает схеме на частично-заданном решении, построенном с помощью ансамбля детекторов аномалий, и по времени расчета, и по значению целевой функции. Подбор параметра контаминации детектора HBOS как и в предыдущем случае не позволяет улучшить решение – кривая «замирает» на асимптоте 52070.46.

Таким образом, в данном случае ансамбль детекторов аномалий с обретенкой SUOD снижает временные издержки на получение решения и одновременно улучшает целевую функцию.

Вывод по сценарию: принимая во внимание, что ансамбль детекторов аномалий обучался лишь на одном сценарии группы ИКП, который существенно и с точки зрения размерности, и с точки зрения структуры матрицы ограничений отличается от сценария, на котором строился прогноз модели, допустимо говорить о трансфере/переносе шаблона, выявленного на сценарии f398266b_bin.lp группы ИКП.

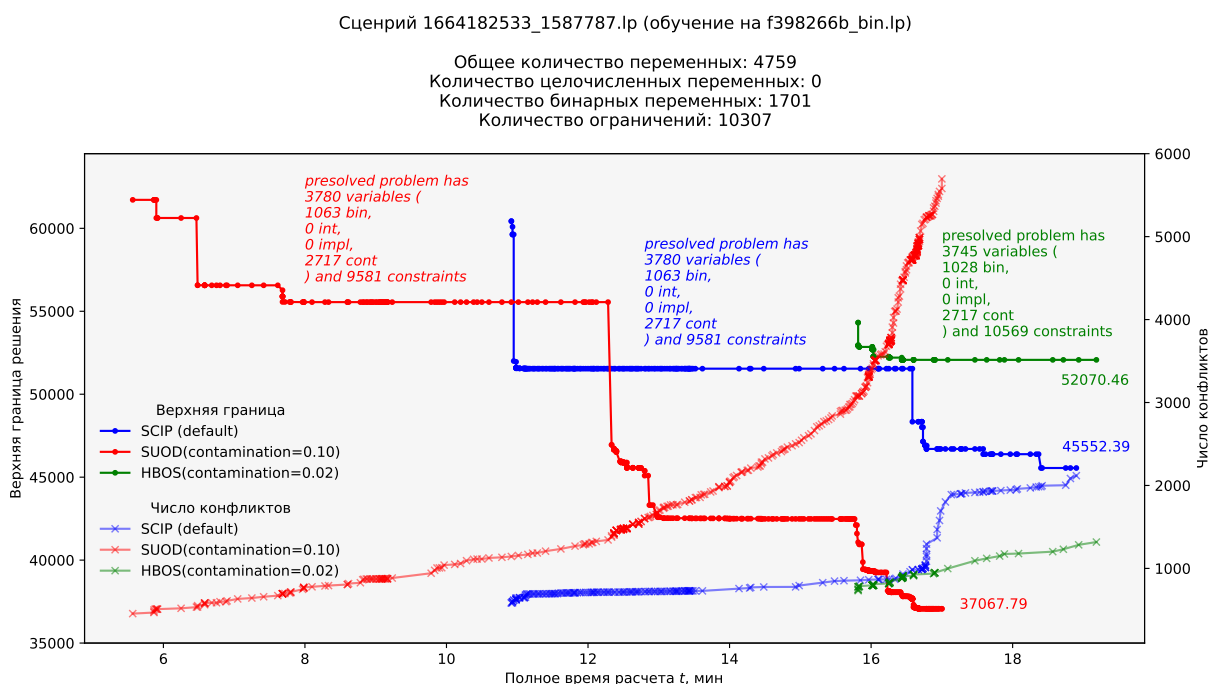


Рис. 6. Сводка результатов вычислительных экспериментов на сценарии группы СОП 1664182533_1587787.lp

7.4.4. Синтетический сценарий 1664182480_4326847.lp с бинарными переменными

Статистика¹⁸

Общее количество переменных: 7123 (6445)

Количество целочисленных переменных: 0 (0)

Количество бинарных переменных: 1548 (1324)

Количество ограничений: 17696 (16805)

¹⁸В скобках указана размерность задачи после шага пресолвинга с фиксацией, полученной с помощью ансамбля детекторов аномалий без подбора гиперпараметров детекторов

lp-файл: https://disk.yandex.ru/d/f_6GH9mzzxAGQg

Блок подавления подгруппы первичных эвристик низкой эффективности конфигурационного файла SCIP

Фрагмент файла scip.set. Сценарий 1664182480_4326847.lp

```
...
heuristics/adaptivediving/freq = -1
heuristics/fracdiving/freq = -1
heuristics/linesearchdiving/freq = -1
heuristics/objpscostdiving/freq = -1
heuristics/pscostdiving/freq = -1
heuristics/rootsoldiving/freq = -1
heuristics/veclendiving/freq = -1
```

На рис. 7 приведены результаты сравнительного анализа запусков i) решателя SCIP с настройками по умолчанию и ii) решателя SCIP на фиксации, подогнотенной с помощью изолированного детектора HBOS.

На рассматриваемом сценарии получить решение с помощью ансамбля детекторов аномалий за отведенное для поиска время не удалось, однако, изолированный детектор HBOS с подобранным параметром контаминации смог выйти на значение целевой функции 53682.08. Это решение проигрывает решению, полученному с помощью SCIP базовой конфигурации (47245.97), но тем не менее указывает жизнеспособность концепции использования стратегии обнаружения аномалий для построения частично-заданного решения на фиксациях с подбором параметра контаминации детекторов.

Вывод по сценарию: принимая во внимание, что ансамбль детекторов аномалий обучался лишь на одном сценарии группы ИКП, который существенно и с точки зрения размерности, и с точки зрения структуры матрицы ограничений отличается от сценария, на котором строился прогноз модели, допустимо говорить о трансфере/переносе шаблона, выявленного на сценарии f398266b_bin.lp группы ИКП.

7.4.5. Синтетический сценарий 1664182523_380519.lp с бинарными переменными

Статистика¹⁹

Общее количество переменных: 4578

Количество целочисленных переменных: 0

Количество бинарных переменных: 1331

Количество ограничений: 10722

lp-файл: <https://disk.yandex.ru/d/i-FhZ9LD8ToeXg>

Блок подавления подгруппы первичных эвристик низкой эффективности конфигурационного файла SCIP

Фрагмент файла scip.set. Сценарий 1664182523_380519.lp

```
...
heuristics/adaptivediving/freq = -1
heuristics/fracdiving/freq = -1
heuristics/linesearchdiving/freq = -1
heuristics/objpscostdiving/freq = -1
```

¹⁹В скобках указана размерность задачи после шага пресолвинга с фиксацией, полученной с помощью ансамбля детекторов аномалий без подбора гиперпараметров детекторов

Сценарий 1664182480_4326847.lp (обучение на f398266b_bin.lp)

Общее количество переменных: 7123
Количество целочисленных переменных: 0
Количество бинарных переменных: 1548
Количество ограничений: 17696

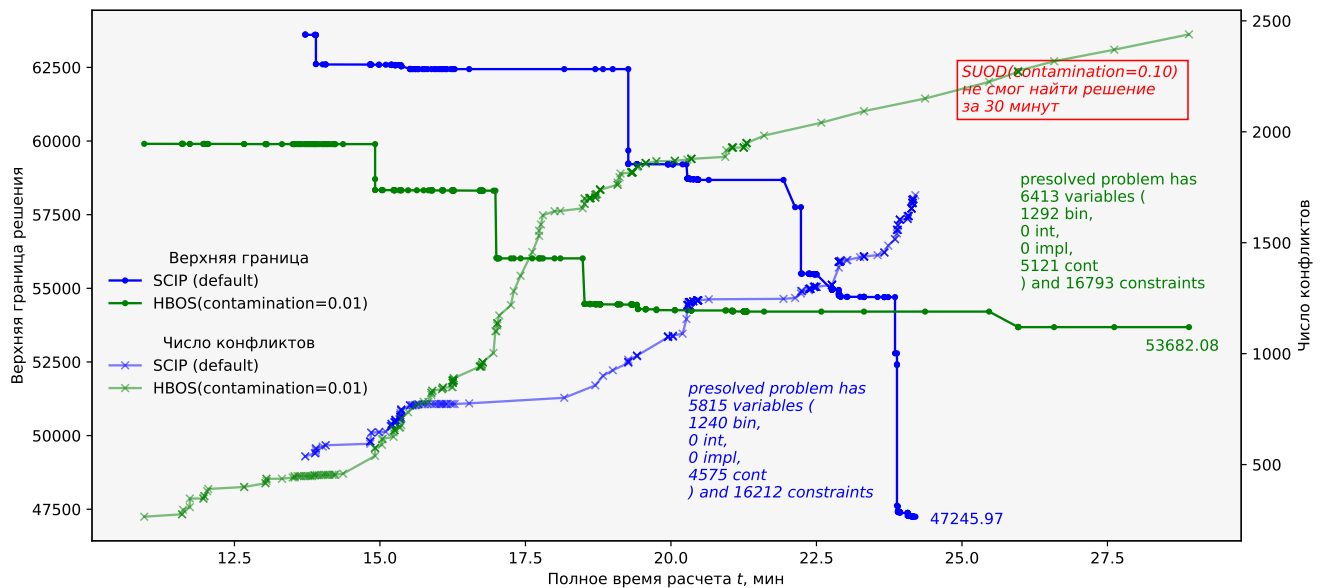


Рис. 7. Сводка результатов вычислительных экспериментов на сценарии группы СОП 1664182480_4326847.lp

```
heuristics/pscostdiving/freq = -1
heuristics/rootsoldiving/freq = -1
heuristics/veclendiving/freq = -1
```

На рис. 8 приведены результаты сравнительного анализа запусков i) решателя SCIP с настройками по умолчанию, и ii) решателя SCIP на частично-заданном решении, полученном с помощью ансамбля детекторов аномалий.

Здесь ансамбль детекторов аномалий выигрывает 2.78 минуты при целевой функции, значение которой практически не отличается от значения целевой функции в решении, полученном с помощью решателя SCIP базовой конфигурации.

Вывод по сценарию: принимая во внимание, что ансамбль детекторов аномалий обучался лишь на одном сценарии группы ИКП, который существенно и с точки зрения размерности, и с точки зрения структуры матрицы ограничений отличается от сценария, на котором строился прогноз модели, допустимо говорить о трансфере/переносе шаблона, выявленного на сценарии f398266b_bin.lp группы ИКП.

8. Описание вычислительных экспериментов на сценариях группы ИКП

На всех сценариях группы ИКП (как с бинарными переменными, так и без них) решения удавалось найти с помощью *метакофигурации* (см. раздел 8.2), включающей прием подавления подгруппы первичных эвристик низкой эффективности и процедуру построения частично-заданного решения на фиксациях (для нулевых бинарных и целочисленных переменных).

Сценарий 1664182523_380519.lp (обучение на f398266b_bin.lp)

Общее количество переменных: 4578
Количество целочисленных переменных: 0
Количество бинарных переменных: 1331
Количество ограничений: 10722

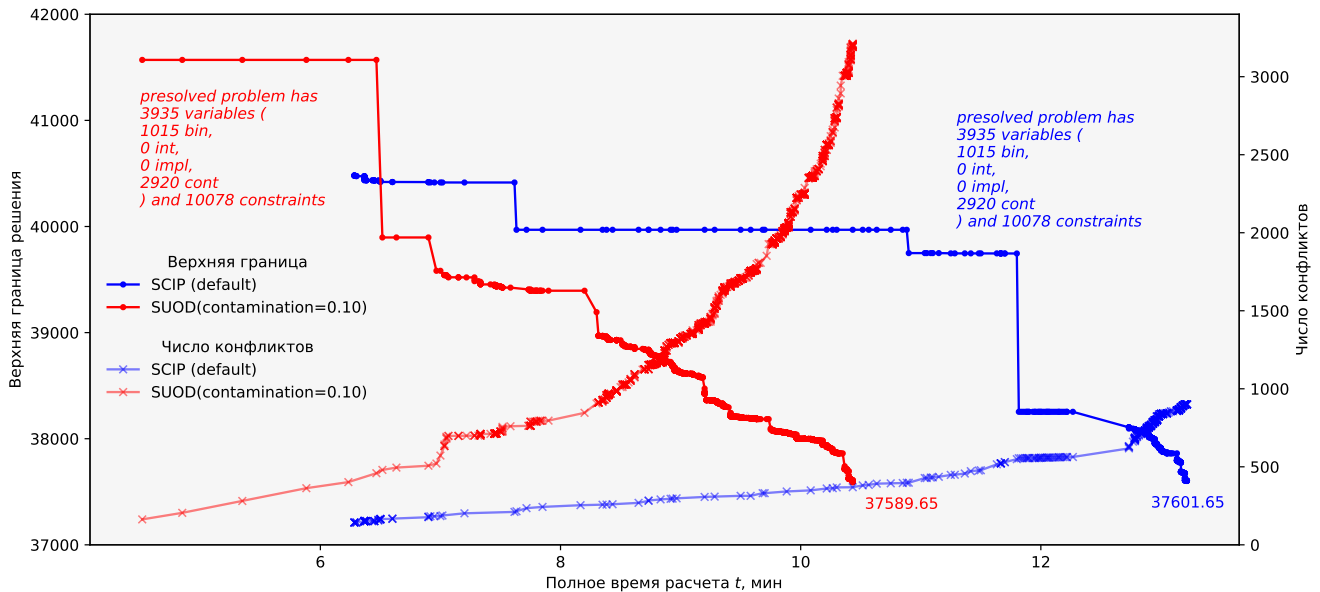


Рис. 8. Сводка результатов вычислительных экспериментов на сценарии группы СОП 1664182523_380519.lp

8.1. Поиск решения на сценариях без бинарных переменных.

Метаконфигурации SUH, FZBIVSUHPB и ансамбль детекторов аномалий

Метаконфигурация²⁰ SUH (Suppress Useless Heuristics) процедуры поиска решения сводится к приему подавления подгруппы первичных эвристик низкой эффективности.

Замечание

Решение получено без доменно-ориентированных эвристик, «теплого» старта и подбора параметров решателя

Конфигурация решателя SCIP для всех сценариев группы ИКП (без бинарных переменных) имеет вид

scip.set. Сценарии группы ИКП без бинарных переменных

```
# критерии останова и перезапуска
limits/time = 7200
limits/gap = 0.02 # решение останавливается при зазоре <= 2%

# подавление подгруппы первичных эвристик низкой эффективности
heuristics/farkasdiving/freq = -1
heuristics/feaspump/freq = -1
heuristics/randrounding/freq = -1
heuristics/shiftandpropagate/freq = -1
heuristics/shifting/freq = -1
```

Сводка результатов вычислительных экспериментов доступна по ссылке <https://docs.google.com/document/d/1V9fZLT9cXkbVQ5BvMCwzKrAiASZ2v4-01Z68jVBZUBU/edit?usp=sharing>.

²⁰Под метаконфигурацией понимается совокупность конфигурации решателя и набора эвристических приемов

8.1.1. Сценарий F398266B без бинарных переменных

Статистика

Общее количество переменных: 774901

Количество целочисленных переменных: 172449

Количество бинарных переменных: 0

Количество ограничений: 650263

lp-файл: https://disk.yandex.ru/d/o_eAb9475u5ueg

Анализ решения

Пул решений задачи был найден с помощью следующих первичных эвристик:

- INTSHIFING,
- RENS.

Файл решения задачи (метаконфигурация SUH) доступен по ссылке <https://disk.yandex.ru/d/URRnZ8soTaJEgQ>

Файл статистической сводки (метаконфигурация SUH) доступен по ссылке <https://disk.yandex.ru/d/N2tfhj1N6RczzA>

Файл решения задачи (метаконфигурация FZBIVSUHPB) доступен по ссылке <https://disk.yandex.ru/d/-y7p5FyJyYirkw>

Файл статистической сводки (метаконфигурация FZBIVSUHPB) доступен по ссылке <https://disk.yandex.ru/d/1JaMC9aFjubDbA>

Вывод по сценарию: описанная выше метаконфигурация SUH приводит к решению задачи, которое оказывается по отношению к результату на доменно-ориентированных эвристиках (`USE_RECALCULATION_ON_FLOW=true`) для последнего решения из пула допустимых целочисленных решений (ОС Linux Centos 7) на 1.063% лучше в смысле целевой функции и на 10.20% – в смысле временных издержек (рис. 9).

Метаконфигурация FZBIVSUHPB (подробнее в разделе 8.2) по отношению к тому же результату на доменно-ориентированных эвристиках дает решение задачи, которое на 1.155% лучше в смысле целевой функции и на 65.27% – в смысле временных издержек (табл. 1).

Синим цветом обозначен выигрыш в процентах.

Таблица 1. Сводка результатов анализа эффективности метаконфигураций SUH и FZBIVSUHPB. Сценарий f398266b без бинарных переменных

| Способ | Полное время расчета, мин | Верхняя граница решения, $\times 10^{10}$ |
|-------------|---------------------------|---|
| CBC+DOH | 21.38 | 5.905048 |
| SCIP+SUH | 19.27 +9.87% | 5.842154 +1.065% |
| SCIP+FZB... | 9.43 +55.89% | 5.836815 +1.155% |

8.1.2. Сценарий 50197DF7 без бинарных переменных

Статистика

Общее количество переменных: 718464

Количество целочисленных переменных: 159332

Сценарий input_f398266b-093b-ec11-a2d4-005056a5ee74.json

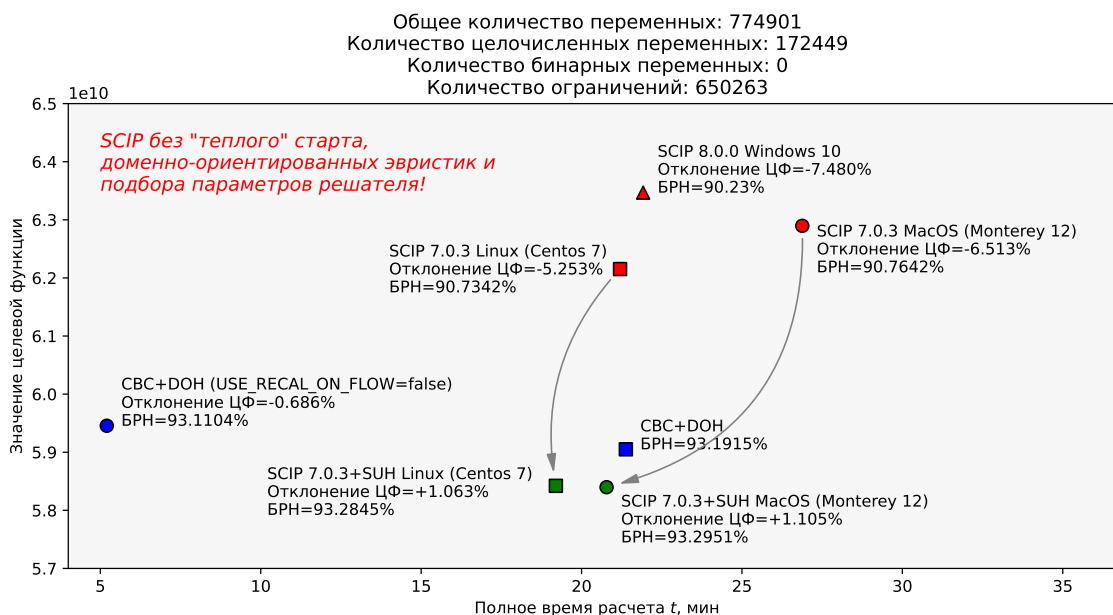


Рис. 9. Сводка результатов анализа эффективности метаконфигурации SUH.
Сценарий f398266b без бинарных переменных

Количество бинарных переменных: 0

Количество ограничений: 595797

lp-файл: https://disk.yandex.ru/d/K0_xj9dkgUdcog

Анализ решения

Пул решений задачи был найден с помощью следующих первичных эвристик:

- o INTSHIFING,
- o RENS.

Файл решения задачи (метаконфигурация SUH) доступен по ссылке <https://disk.yandex.ru/d/R4B1fkTx-nE3tg>

Файл статистической сводки (метаконфигурация SUH) доступен по ссылке <https://disk.yandex.ru/d/BLvUmZ43vtMFKg>

Файл решения задачи (метаконфигурация FZBIVSUHPB) доступен по ссылке <https://disk.yandex.ru/d/yMFLr-6mLfdPAw>

Файл статистической сводки (метаконфигурация FZBIVSUHPB) доступен по ссылке <https://disk.yandex.ru/d/XiRSvteL9xC4pg>

Вывод по сценарию: описанная выше метаконфигурация SUH приводит к решению задачи, которое оказывается по отношению к результату на доменно-ориентированных эвристиках (`USE_RECALCULATION_ON_FLOW=true`) для последнего решения из пула допустимых целочисленных решений (ОС Linux Centos 7) на 1.25% лучше в смысле целевой функции и на 46.43% – в смысле временных издержек (рис. 10).

Метаконфигурация FZBIVSUHPB (подробнее в разделе 8.2) по отношению к тому же результату на доменно-ориентированных эвристиках дает решение задачи, которое на 1.191% лучше в смысле целевой функции и на 82.13% – в смысле временных издержек (табл. 2).

Синим цветом обозначен выигрыш в процентах.

Таблица 2. Сводка результатов анализа эффективности метаконфигураций SUH и FZBIVSUHPB. Сценарий 50197df7 без бинарных переменных

| Способ | Полное время рас- чета, мин | Верхняя граница решения, $\times 10^{10}$ |
|-------------|--------------------------------|--|
| CBC+DOH | 18.35 | 3.585532 |
| SCIP+SUH | 9.83 +46.43% | 3.540567 +1.252% |
| SCIP+FZB... | 3.28 +82.13% | 3.542843 +1.191% |

Сценарий input_50197df7-ff50-ec11-a2d7-005056a5ee74.json

Общее количество переменных: 718464
Количество целочисленных переменных: 159332
Количество бинарных переменных: 0
Количество ограничений: 595797

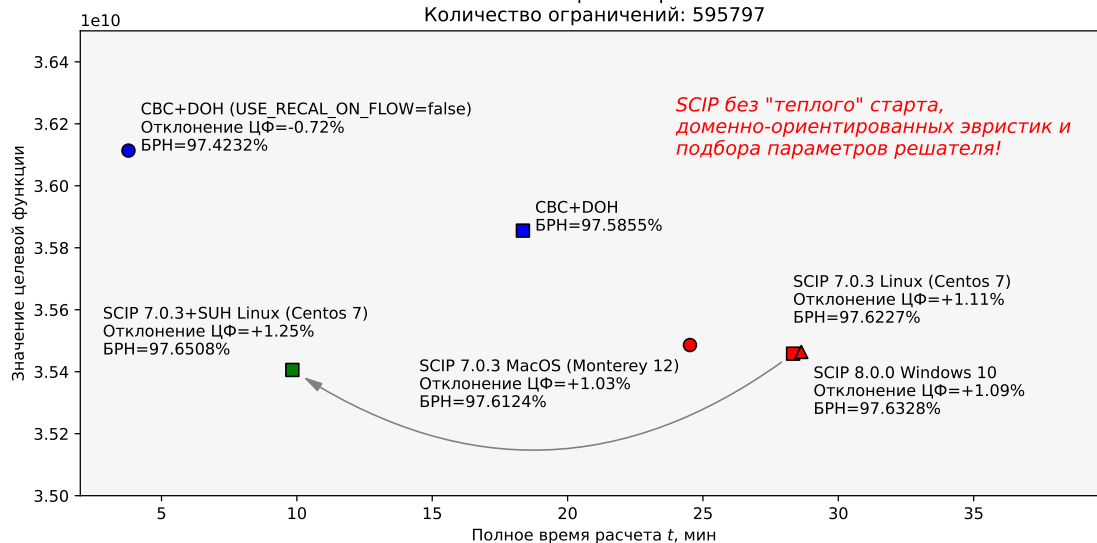


Рис. 10. Сводка результатов анализа эффективности метаконфигурации SUH. Сценарий 50197df7 без бинарных переменных

8.1.3. Сценарий 7FAC4231 без бинарных переменных

Статистика

Общее количество переменных: 737585

Количество целочисленных переменных: 147789

Количество бинарных переменных: 0

Количество ограничений: 540018

lp-файл: <https://disk.yandex.ru/d/qiZAmraUNK1Peg>

Анализ решения

Пул решений задачи был найден с помощью следующих первичных эвристик:

- INTSHIFING,
- RENS.

Файл решения задачи (метаконфигурация SUH) доступен по ссылке https://disk.yandex.ru/d/20NeMuQ7NF_ccA

Файл статистической сводки (метаконфигурация SUH) доступен по ссылке <https://disk.yandex.ru/d/QxE0HoREHzgHQQ>

Файл решения задачи (метаконфигурация FZBIVSUHPB) доступен по ссылке https://disk.yandex.ru/d/FHZGj_Kyg8dDiw

Файл статистической сводки (метаконфигурация FZBIVSUHPB) доступен по ссылке <https://disk.yandex.ru/d/8H1vw6zkQS7DAg>

Вывод по сценарию: описанная выше метаконфигурация SUN приводит к решению задачи, которое оказывается по отношению к результату на доменно-ориентированных эвристиках (`USE_RECALCULATION_ON_FLOW=true`) для последнего решения из пула допустимых целочисленных решений (ОС Linux Centos 7) на 5.22% лучше в смысле целевой функции и на 27.10% – в смысле временных издержек (рис. 11).

Метаконфигурация FZBIVSUHPB (подробнее в разделе 8.2) по отношению к тому же результату на доменно-ориентированных эвристиках дает решение задачи, которое на 5.452% лучше в смысле целевой функции и на 90.16% – в смысле временных издержек (табл. 3).

Синим цветом обозначен выигрыш в процентах.

Таблица 3. Сводка результатов анализа эффективности метаконфигураций SUN и FZBIVSUHPB. Сценарий 7fac4231 без бинарных переменных

| Способ | Полное время рас- чета, мин | Верхняя граница решения, $\times 10^{10}$ |
|-------------|--------------------------------|--|
| CBC+DOH | 16.05 | 1.087609 |
| SCIP+SUN | 11.67 +27.29% | 1.030866 +5.222% |
| SCIP+FZB... | 3.58 +77.69% | 1.028349 +5.452% |

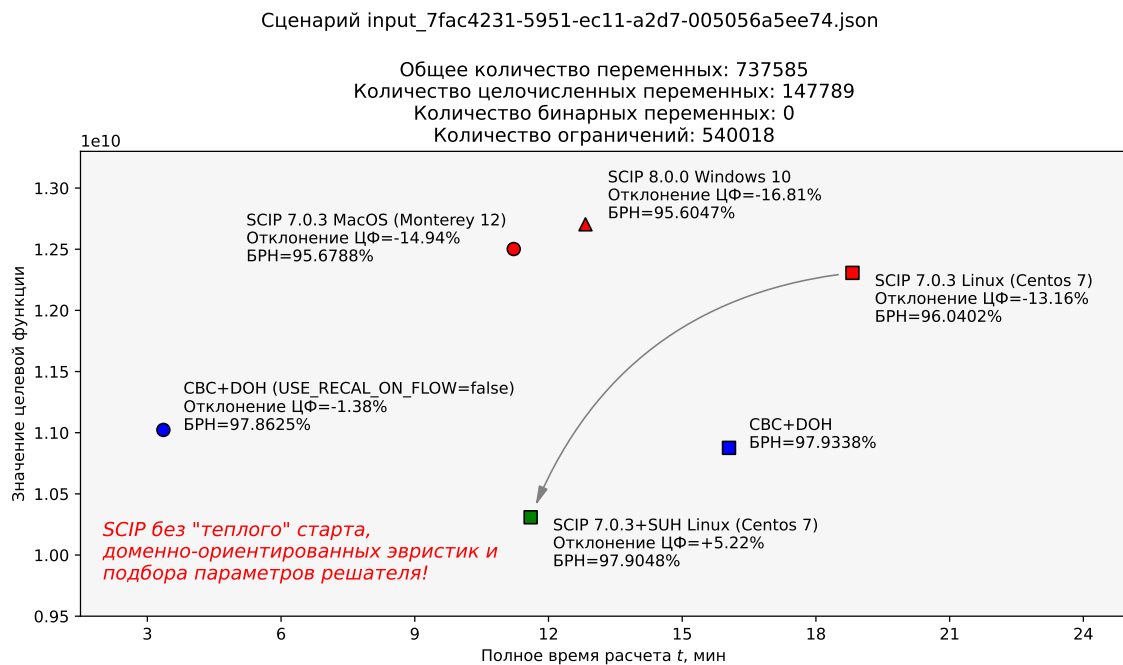


Рис. 11. Сводка результатов анализа эффективности метаконфигурации SUN. Сценарий 7fac4231 без бинарных переменных

8.1.4. Сценарий SA485A55 без бинарных переменных

Статистика

Общее количество переменных: 718601

Количество целочисленных переменных: 140858

Количество бинарных переменных: 0

Количество ограничений: 514229

lp-файл: https://disk.yandex.ru/d/iSP6xrh4K_wHEQ

Анализ решения

Пул решений задачи был найден с помощью следующих первичных эвристик:

- INTSHIFING,
- RENS.

Файл решения задачи (метаконфигурация SUN) доступен по ссылке https://disk.yandex.ru/d/_WzkmgoueNb2Bg

Файл решения задачи (метаконфигурация FZBIVSUHPB) доступен по ссылке <https://disk.yandex.ru/d/sLUW5IxmPMBpcw>

Файл статистической сводки (метаконфигурация FZBIVSUHPB) доступен по ссылке <https://disk.yandex.ru/d/3Ls6QrAWVUMdZw>

Вывод по сценарию: описанная выше метаконфигурация SUN приводит к решению задачи, которое оказывается по отношению к результату на доменно-ориентированных эвристиках (USE_RECALCULATION_ON_FLOW=true) для последнего решения из пула допустимых целочисленных решений (ОС Linux Centos 7) на 0.683% лучше в смысле целевой функции и на 46.48% – в смысле временных издержек (рис. 12).

Метаконфигурация FZBIVSUHPB (подробнее в разделе 8.2) по отношению к тому же результату на доменно-ориентированных эвристиках дает решение задачи, которое на 1.244% лучше в смысле целевой функции и на 88.53% – в смысле временных издержек (табл. 4).

Синим цветом обозначен выигрыш в процентах.

Таблица 4. Сводка результатов анализа эффективности метаконфигураций SUN и FZBIVSUHPB. Сценарий sa485a55 без бинарных переменных

| Способ | Полное время расчета, мин | Верхняя граница решения, $\times 10^{10}$ |
|-------------|---------------------------|---|
| CBC+DOH | 20.05 | 4.597048 |
| SCIP+SUN | 10.73 +46.48% | 4.565579 +0.683% |
| SCIP+FZB... | 4.34 +78.35% | 4.539819 +1.244% |

8.1.5. Сценарий 276 без бинарных переменных

Статистика

Общее количество переменных: 809224

Количество целочисленных переменных: 162562

Количество бинарных переменных: 0

Количество ограничений: 602190

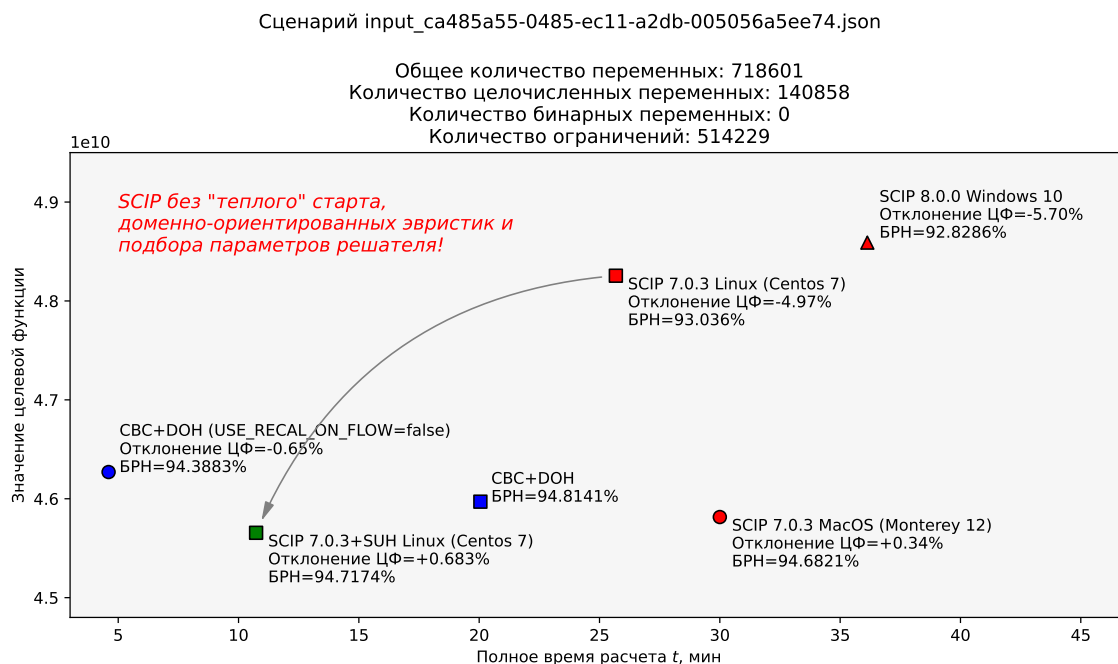


Рис. 12. Сводка результатов анализа эффективности метаконфигурации SUH.
Сценарий ca485a55 без бинарных переменных

lp-файл: <https://disk.yandex.ru/d/QaS5kd7VRZQ66A>

Анализ решения

Пул решений задачи был найден с помощью следующих первичных эвристик:

- INTSHIFING,
- RENS.

Файл решения задачи (метаконфигурация SUH) доступен по ссылке <https://disk.yandex.ru/d/M2V88djiiGM5PA>

Файл решения задачи (метаконфигурация FZBIVSUHPB) доступен по ссылке <https://disk.yandex.ru/d/G0ustAVT6I9CeA>

Файл статистической сводки (метаконфигурация FZBIVSUHPB) доступен по ссылке <https://disk.yandex.ru/d/YBXB5GCECJiBIA>

Вывод по сценарию: описанная выше метаконфигурация SUH приводит к решению задачи, которое оказывается по отношению к результату на доменно-ориентированных эвристиках (USE_RECALCULATION_ON_FLOW=true) для последнего решения из пула допустимых целочисленных решений (ОС Linux Centos 7) на 3.67% лучше в смысле целевой функции и на 51.56% – в смысле временных издержек (рис. 13).

Метаконфигурация FZBIVSUHPB (подробнее в разделе 8.2) по отношению к тому же результату на доменно-ориентированных эвристиках дает решение задачи, которое на 4.86% лучше в смысле целевой функции и на 78.35% – в смысле временных издержек (табл. 5).

Синим цветом обозначен выигрыш в процентах.

Таблица 5. Сводка результатов анализа эффективности метаконфигураций SUH и FZBIVSUHPB. Сценарий 276 без бинарных переменных

| Способ | Полное время рас- чета, мин | Верхняя граница решения, $\times 10^{10}$ |
|-------------|--------------------------------|--|
| CBC+DOH | 29.87 | 1.430789 |
| SCIP+SUH | 14.47 +51.56% | 1.378299 +3.669% |
| SCIP+FZB... | 3.95 +78.35% | 1.361368 +4.857% |

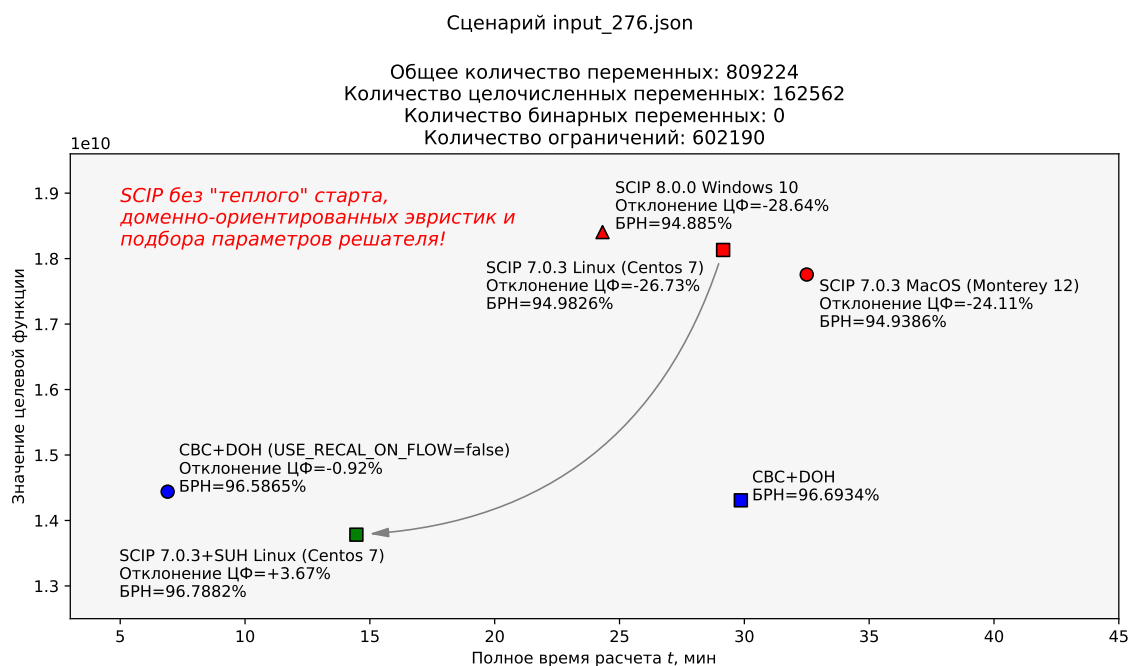


Рис. 13. Сводка результатов анализа эффективности метаконфигурации SUH. Сценарий 276 без бинарных переменных

8.1.6. Сценарий 337 без бинарных переменных

Статистика

Общее количество переменных: 859075

Количество целочисленных переменных: 173622

Количество бинарных переменных: 0

Количество ограничений: 624327

lp-файл: <https://disk.yandex.ru/d/keyQLAagsD7Sbw>

Анализ решения

Пул решений задачи был найден с помощью следующих первичных эвристик:

- INTSHIFING,
- RENS.

Файл решения задачи (метаконфигурация SUH) доступен по ссылке <https://disk.yandex.ru/d/ZUIEo3dDq77FjA>

Файл решения задачи (метаконфигурация FZBIVSUHPB) доступен по ссылке <https://disk.yandex.ru/d/OnUXIrIKuzqZlw>

Файл статистической сводки (метаконфигурация FZBIVSUHPB) доступен по ссылке <https://disk.yandex.ru/d/UONCnMQN1akHUA>

Вывод по сценарию: описанная выше метаконфигурация SUN приводит к решению задачи, которое оказывается по отношению к результату на доменно-ориентированных эвристиках (USE_RECALCULATION_ON_FLOW=true) для последнего решения из пула допустимых целочисленных решений (ОС Linux Centos 7) на 22.12% лучше в смысле целевой функции и на 18.32% – в смысле временных издержек (рис. 14).

Метаконфигурация FZBIVSUHPB (подробнее в разделе 8.2) по отношению к тому же результату на доменно-ориентированных эвристиках дает решение задачи, которое на 22.59% лучше в смысле целевой функции и на 70.84% – в смысле временных издержек (табл. 6).

Синим цветом обозначен выигрыш в процентах.

Таблица 6. Сводка результатов анализа эффективности метаконфигураций SUN и FZBIVSUHPB. Сценарий 337 без бинарных переменных

| Способ | Полное время рас- чета, мин | Верхняя граница решения, $\times 10^{10}$ |
|-------------|--------------------------------|--|
| CBC+DOH | 20.85 | 3.825042 |
| SCIP+SUN | 17.03 +18.32% | 2.978782 +22.123% |
| SCIP+FZB... | 6.08 +70.84% | 2.961019 +22.588% |

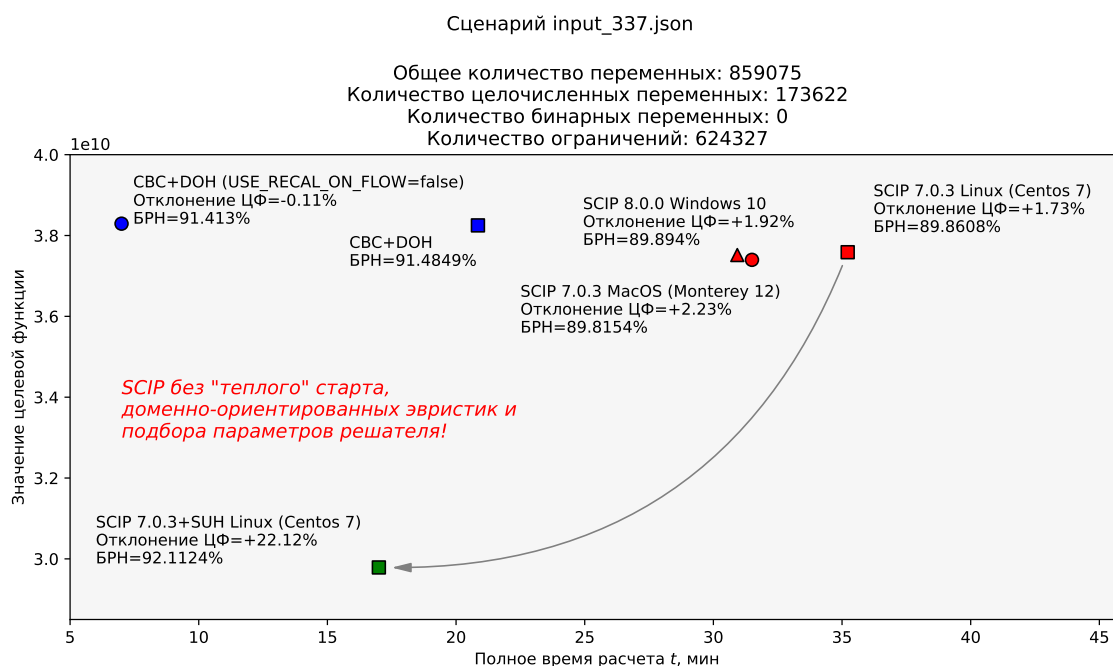


Рис. 14. Сводка результатов анализа эффективности метаконфигурации SUN. Сценарий 337 без бинарных переменных

8.1.7. Сценарий 13D686AB без бинарных переменных

Статистика

Общее количество переменных: 786020

Количество целочисленных переменных: 168857

Количество бинарных переменных: 0

Количество ограничений: 598414

lp-файл: <https://disk.yandex.ru/d/3KkYKzNl3PjGdg>

Пул решений задачи был найден с помощью следующих первичных эвристик:

- INTSHIFING,
- RENS.

Файл решения задачи (метаконфигурация SUH) доступен по ссылке <https://disk.yandex.ru/d/EXylMeX6Ytz4tg>

Файл решения задачи (метаконфигурация FZBIVSUHPB) доступен по ссылке <https://disk.yandex.ru/d/dXUMVbSWRbqeDQ>

Файл статистической сводки (метаконфигурация FZBIVSUHPB) доступен по ссылке <https://disk.yandex.ru/d/Knavj89muxGw-w>

Вывод по сценарию: описанная выше метаконфигурация SUH приводит к решению задачи, которое оказывается по отношению к результату на доменно-ориентированных эвристиках (USE_RECALCULATION_ON_FLOW=true) для последнего решения из пула допустимых целочисленных решений (ОС Linux Centos 7) на 9.40% лучше в смысле целевой функции и на 33.03% – в смысле временных издержек (рис. 15).

Метаконфигурация FZBIVSUHPB (подробнее в разделе 8.2) по отношению к тому же результату на доменно-ориентированных эвристиках дает решение задачи, которое на 10.44% лучше в смысле целевой функции и на 75.82% – в смысле временных издержек (табл. 7).

Синим цветом обозначен выигрыш в процентах.

Таблица 7. Сводка результатов анализа эффективности метаконфигураций SUH и FZBIVSUHPB. Сценарий 13d686ab без бинарных переменных

| Способ | Полное время рас- чета, мин | Верхняя граница решения, $\times 10^9$ |
|-------------|--------------------------------|---|
| CBC+DOH | 28.82 | 8.774743 |
| SCIP+SUH | 19.30 +33.03% | 7.949568 +9.403% |
| SCIP+FZB... | 6.97 +75.82% | 7.858548 +10.441% |

8.1.8. Сценарий A78CBEAD без бинарных переменных

Статистика

Общее количество переменных: 795400

Количество целочисленных переменных: 180160

Количество бинарных переменных: 0

Количество ограничений: 658339

lp-файл: <https://disk.yandex.ru/d/vTPPa1H3VFD7tA>

Пул решений задачи был найден с помощью следующих первичных эвристик:

- INTSHIFING,
- RENS.

Файл решения задачи (метаконфигурация SUH) доступен по ссылке <https://disk.yandex.ru/d/fARVcHb66ToHxQ>

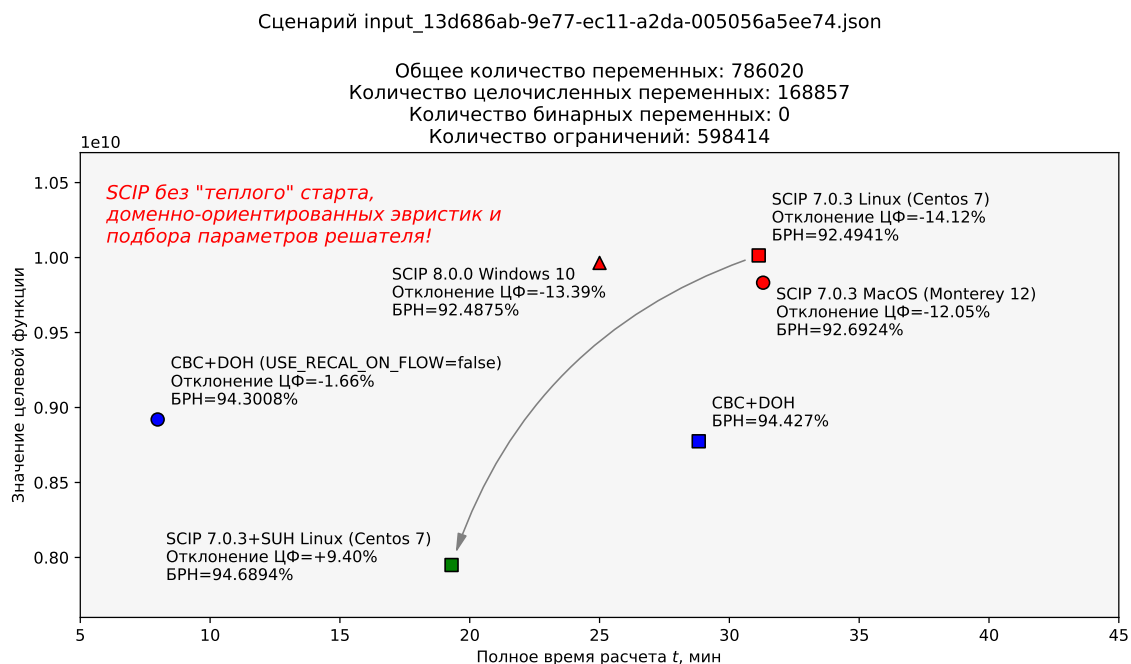


Рис. 15. Сводка результатов анализа эффективности метаконфигурации SUN.
Сценарий 13d686ab без бинарных переменных

Файл решения задачи (метаконфигурация FZBIVSUHPB) доступен по ссылке <https://disk.yandex.ru/d/4DIteZTja77cog>

Файл статистической сводки (метаконфигурация FZBIVSUHPB) доступен по ссылке <https://disk.yandex.ru/d/vn1K834mY5MEng>

Вывод по сценарию: описанная выше метаконфигурация SUN приводит к решению задачи, которое оказывается по отношению к приему на доменно-ориентированных эвристиках (USE_RECALCULATION_ON_FLOW=true) для последнего решения из пула допустимых целочисленных решений (ОС Linux Centos 7) на 1.57% лучше в смысле целевой функции и на 23.30% – в смысле временных издержек (рис. 16).

Метаконфигурация FZBIVSUHPB (подробнее в разделе 8.2) по отношению к приему построения решения на доменно-ориентированных эвристиках дает решение задачи, которое на 1.39% лучше в смысле целевой функции и на 81.04% – в смысле временных издержек (табл. 8).

Синим цветом обозначен выигрыш в процентах.

Таблица 8. Сводка результатов анализа эффективности метаконфигураций SUN и FZBIVSUHPB. Сценарий a78cbead без бинарных переменных

| Способ | Полное время расчета, мин | Верхняя граница решения, $\times 10^{10}$ |
|-------------|---------------------------|---|
| CBC+DOH | 26.05 | 3.801546 |
| SCIP+SUH | 19.98 +23.30% | 3.741685 +1.576% |
| SCIP+FZB... | 4.94 +81.04% | 3.748890 +1.386% |

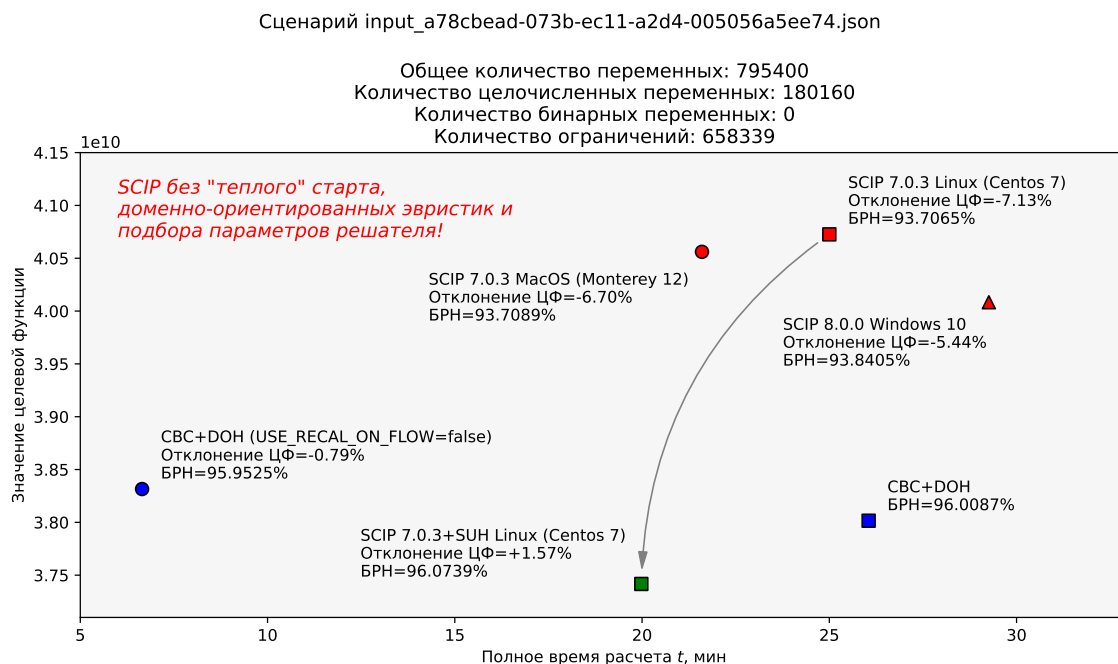


Рис. 16. Сводка результатов анализа эффективности метаконфигурации SUH.
Сценарий a78cbead без бинарных переменных

8.1.9. Сценарий 496 (hard) без бинарных переменных

Статистика²¹

Общее количество переменных: 864743 (48862) (90762)

Количество целочисленных переменных: 177365 (5008) (25872)

Количество бинарных переменных: 0 (332) (27)

Количество ограничений: 610819 (25438) (39119)

lp-файл: <https://disk.yandex.ru/d/CUA7wSn35k7Gbw>

Решение задачи было найдено с помощью первичной эвристики INTSHIFTING.

Файл решения задачи (метаконфигурация FZBIVSUHPB) доступен по ссылке <https://disk.yandex.ru/d/tbMiAbYmaA0rhg>

Файл статистической сводки (метаконфигурация FZBIVSUHPB) доступен по ссылке <https://disk.yandex.ru/d/AQptE3s3NF4bug>

Файл решения задачи (ансамбль детекторов аномалий) доступен по ссылке <https://disk.yandex.ru/d/VMZLFWoT80ftXA>

Файл статистической сводки (ансамбль детекторов аномалий) доступен по ссылке <https://disk.yandex.ru/d/KckqXgoKfv2fyQ>

Решение SCIP+ML получено с помощью ансамбля детекторов аномалий без подбора гиперпараметров детекторов.

Вывод по сценарию: метаконфигурация FZBIVSUHPB (подробнее в разделе 8.2) по отношению к приему на доменно-ориентированных эвристиках CBC+MS (measure of similarity) дает решение задачи, которое на 9.823% лучше в смысле целевой функции и на 69.13% – в смысле временных издержек (табл. 9).

²¹ В первых скобках указана размерность задачи после шага пресолвинга с фиксацией FZBIVSUHPB, а во вторых – с фиксацией, полученной с помощью ансамбля детекторов аномалий без подбора гиперпараметров детекторов

Решение, полученное с помощью ансамбля детекторов аномалий, обученного на сценарии f398266b_bin.lp, на 9.678% превосходит CBC+MS в смысле целевой функции и на 71.82% – в смысле временных издержек.

SCIP+ML(0.10)f – решение, полученное с помощью ансамбля детекторов аномалий без подбора параметра контаминации при первом запуске приложения, SCIP+ML(0.10)e – то же самое, при запуске приложения в «исследовательском режиме» (матрица ограничений обучающего поднабора данных и релаксированные решения не вычисляются повторно).

Синим цветом обозначен выигрыш в процентах.

Таблица 9. Сводка результатов анализа эффективности метаконфигураций FZBIVSUHPB и ансамбля детекторов аномалий.
Сценарий 496 без бинарных переменных

| <i>Способ</i> | <i>Полное время рас- чета, мин</i> | <i>Верхняя граница решения, $\times 10^7$</i> |
|----------------|--|--|
| CBC+MS* | 5.00 | 6.536728 |
| Gurobi 9.12 | 5.22 -0.04% | 5.834197 +10.747% |
| SCIP 7.0.3d** | 15.42 -66.15% | 10.66377 -38.702% |
| SCIP+FZB... | 1.54 +69.13% | 5.894658 +9.823% |
| SCIP+ML(0.10)f | 4.56 +8.8% | 5.904120 +9.678% |
| SCIP+ML(0.10)e | 1.51 +69.76% | 5.904120 +9.678% |

* – опорное решение

** – решение было прервано

8.1.10. Сценарий 514 (hard) без бинарных переменных

Статистика²²

Общее количество переменных: 775879 (77367) (120764)

Количество целочисленных переменных: 145292 (5817) (32895)

Количество бинарных переменных: 0 (30) (14)

Количество ограничений: 541040 (45892) (61074)

lp-файл: <https://disk.yandex.ru/d/jQqSqBKb6iG-vw>

Пул решений задачи был найден с помощью следующих первичных эвристик:

- INTSHIFTING,
- RENS.

Файл решения задачи (метаконфигурация FZBIVSUHPB) доступен по ссылке <https://disk.yandex.ru/d/1N2FdsqwEQcVTQ>

Файл статистической сводки (метаконфигурация FZBIVSUHPB) доступен по ссылке <https://disk.yandex.ru/d/iIdbACgh59EpVg>

Файл решения задачи (ансамбль детекторов аномалий) доступен по ссылке <https://disk.yandex.ru/d/5kRyOUsIOatHsQ>

Файл статистической сводки (ансамбль детекторов аномалий) доступен по ссылке <https://disk.yandex.ru/d/rNUU8HmeBGLFRQ>

²²В первых скобках указана размерность задачи после шага пресолвинга с фиксацией FZBIVSUHPB, а во вторых – с фиксацией, полученной с помощью ансамбля детекторов аномалий без подбора гиперпараметров детекторов

Решение SCIP+ML получено с помощью ансамбля детекторов аномалий без подбора гипер-параметров детекторов.

Вывод по сценарию: метаконфигурация FZBIVSUHPB (подробнее в разделе 8.2) по отношению к приему построения решения с помощью меры подобия CBC+MS (measure of similarity) дает решение задачи, которое на 18.616% лучше в смысле целевой функции и на 51.82% хуже в смысле временных издержек (табл. 10).

Решение, полученное с помощью ансамбля детекторов аномалий²³, обученного на сценарии f398266b_bin.lp, на 19.562% превосходит CBC+MS в смысле целевой функции и на 6.31% – в смысле временных издержек.

SCIP+ML(0.10)f – решение, полученное с помощью ансамбля детекторов аномалий без подбора параметра контаминации при первом запуске приложения, SCIP+ML(0.10)e – то же самое, при запуске приложения в «исследовательском режиме» (матрица ограничений обучающего поднабора данных и релаксированные решения не вычисляются повторно).

Синим цветом обозначен выигрыш в процентах, а красным – проигрыш.

Таблица 10. Сводка результатов анализа эффективности метаконфигураций FZBIVSUHPB и ансамбля детекторов аномалий.
Сценарий 514 без бинарных переменных

| <i>Способ</i> | <i>Полное время рас- чета, мин</i> | <i>Верхняя граница решения, $\times 10^9$</i> |
|----------------|--|--|
| CBC+MS* | 13.00 | 5.243829 |
| Gurobi 9.12 | 11.(6) +10.31 | 4.239092 +19.160% |
| SCIP 7.0.3d** | 60.32 -79.47% | 47.82659 -89.036% |
| SCIP+FZB... | 26.98 -51.82% | 4.267692 +18.616% |
| SCIP+ML(0.10)f | 12.171 +6.38% | 4.217134 +19.580% |
| SCIP+ML(0.10)e | 6.53 +49.77% | 4.217134 +19.580% |

* – опорное решение

** – решение было прервано

8.1.11. Сценарий 519 (hard) без бинарных переменных

Статистика²⁴

Общее количество переменных: 684412 (75034)

Количество целочисленных переменных: 159200 (5424)

Количество бинарных переменных: 0 (44)

Количество ограничений: 447182 (44735)

lp-файл: <https://disk.yandex.ru/d/MMvnnYXK4J4Xxw>

Пул решений задачи был найден с помощью следующих первичных эвристик:

- INTSHIFING,
- ONEOPT,
- VECLENDI,
- LINESEARCH,
- RENS.

Файл решения задачи (метаконфигурация FZBIVSUHPB) доступен по ссылке <https://disk.yandex.ru/d/25B3mUiRYdid3A>

²³Решение принудительно останавливалось на 350 секунде (параметр limits/softtime = 350)

²⁴В скобках указана размерность задачи после шага пресолвинга с фиксацией FZBIVSUHPB

Файл статистической сводки (метаконфигурация FZBIVSUHPB) доступен по ссылке <https://disk.yandex.ru/d/L3TyaXp56rZjCA>

Файл решения задачи (ансамбль детекторов аномалий) доступен по ссылке

Файл статистической сводки (ансамбль детекторов аномалий) доступен по ссылке

Решение SCIP+ML получено с помощью ансамбля детекторов аномалий без подбора гиперпараметров детекторов.

Вывод по сценарию: метаконфигурация FZBIVSUHPB (подробнее в разделе 8.2) по отношению к приему построения решения на доменно-ориентированных эвристиках CBC+MS (measure of similarity) дает решение задачи, которое на % лучше в смысле целевой функции и на % хуже в смысле временных издержек (табл. 11).

Решение, полученное с помощью отдельного детектора аномалий, обученного на сценарии f398266b_bin.lp, на % превосходит CBC+MS в смысле целевой функции и на % – в смысле временных издержек.

SCIP+ML(0.10)f – решение, полученное с помощью ансамбля детекторов аномалий без подбора параметра контаминации при первом запуске приложения, SCIP+ML(0.10)e – то же самое, при запуске приложения в «исследовательском режиме» (матрица ограничений обучающего поднабора данных и релаксированные решения не вычисляются повторно).

Синим цветом обозначен выигрыш в процентах, а красным – проигрыш.

Таблица 11. Сводка результатов анализа эффективности метаконфигураций FZBIVSUHPB и ансамбля детекторов аномалий.
Сценарий 519 без бинарных переменных

| Способ | Полное время рас- чета, мин | Верхняя граница решения, $\times 10^7$ |
|----------------|--------------------------------|---|
| CBC+MS* | 6.00 | 7.719212 |
| Gurobi 9.12 | 3.48 +42.00% | 7.062839 +8.503% |
| SCIP 7.0.3d** | 41.92 -91.70% | 31.59748 +77.647% |
| SCIP+FZB (a) | 5.23 +12.83% | 7.901148 -2.302% |
| SCIP+FZB (b) | 28.83 -79.19% | 7.374810 +4.462% |
| SCIP+ML(0.10)f | 42.07 -85.74 % | 7.014369 +9.130% |

* – опорное решение ** – решение было прервано

8.2. Поиск решения на сценариях с бинарными переменными.

Метаконфигурация FZBIVSUHPB

На ранних стадиях изучения проблемы высокоразмерных сценариев с бинарными переменными, поиск решения осуществлялся в семь шагов:

1. Подавить подгруппу первичных эвристик низкой эффективности (см. раздел 6.2),
2. При разрешении конфликтов и ветвлении²⁵ отдавать предпочтение бинарным переменным,
3. Найти релаксированное решение задачи,
4. Подобрать порог бинаризации на релаксированном решении для бинарных переменных (см. раздел 6.3),
5. Зафиксировать нулевые 0-bin и единичные 1-bin бинарные переменные; подать фиксацию решателю,

²⁵К сожалению, на сценариях группы ИКП с бинарными переменными решателю SCIP не удастся найти решение в корне дерева

6. В решении, найденном на предыдущей итерации, зафиксировать *нулевые целочисленные 0-int* и *единичные бинарные 1-bin переменные*; полученную фиксацию подать на вход решателю,
7. В решении, полученном на предыдущей итерации, зафиксировать *нулевые бинарные 0-bin* и *целочисленные 0-int переменные*; фиксацию подать на вход решателю.

Процедура поиска оказалась чувствительной к параметру `autorestartnodes`. Графическая интерпретация результатов вычислительных экспериментов с разверткой процедуры поиска верхней границы решения во времени приведена на рис. 17, 18, 19 и 20.

Позже описанную процедуру удалось упростить и свести к следующей *метаконфигурации* FZBIVSUNPB (Fixed Zero Binary and Integer Variables, Suppress Useless Heuristics, Prefer Binary):

1. Подавить подгруппу первичных эвристик низкой эффективности,
2. При разрешении конфликтов и ветвлении отдавать предпочтение *бинарным* переменным,
3. Зафиксировать *нулевые бинарные 0-bin* и *нулевые целочисленные 0-int переменные* в релаксированном решении (см. раздел 6.1).

Конфигурация решателя SCIP для всех сценариев группы ИКП (с бинарными переменными) имеет вид

scip.set. Сценарии группы ИКП с бинарными переменными

```
# критерии останова и перезапуска
limits/time = 7200
limits/autorestartnodes = -1
limits/gap = 0.02 # решение останавливается при зазоре <= 2%

# управление стратегиями анализа конфликтов и ветвления
conflict/preferbinary = True
branching/preferbinary = True

# подавление подгруппы первичных эвристик низкой эффективности
heuristics/farkasdiving/freq = -1
heuristics/feaspump/freq = -1
heuristics/randrounding/freq = -1
heuristics/shiftandpropagate/freq = -1
heuristics/shifting/freq = -1
```

Все эксперименты проводились на виртуальной машине Linux (Centos 7) Intel Core™ i7 (8 CPUs), 3.6GHz, RAM 16Gb.

Сводка результатов вычислительных экспериментов доступна по ссылке <https://docs.google.com/document/d/1V9fZLT9cXkbVQ5BvMCwzKrAiASZ2v4-01Z68jVBZUBU/edit?usp=sharing>.

Кодовая база решения доступна по ссылке https://gitdp.zyfra.com/ds_and_math_users/ml-dl-in-operations-reaseearches.git

8.2.1. Сценарий A78CBEAD с бинарными переменными

Статистика

Общее количество переменных: 797818

Количество целочисленных переменных: 180160

Количество бинарных переменных: 2418

Количество ограничений: 663175

lp-файл: <https://disk.yandex.ru/d/JbT3KR5Yi1ZomQ>

Анализ решения

Пул решений задачи был найден с помощью следующих первичных эвристик:

- DISTRIBUTIOINDIVING,
- ONEOPT,
- GINS.

Фрагмент лога сессии SCIP

```
...
time | node | left | LP iter | LP it/n | mem/heur | mdpt | vars | cons | rows | cuts | sepa | confs | strbr |
      |       |      | primalbound | gap | compl.
d1790s| 1881 | 1668 | 1010k | 296.9 | distribu | 93 | 50k | 43k | 43k | 0 | 1 | 385 | 3585 |
      | 3.757279e+10 | 3.894342e+10 | 3.65% | 7.70%
d1790s| 1881 | 1668 | 1010k | 296.9 | distribu | 93 | 50k | 43k | 43k | 0 | 1 | 385 | 3585 |
      | 3.757279e+10 | 3.894341e+10 | 3.65% | 7.70%
i1792s| 1882 | 1667 | 1011k | 297.0 | oneopt | 93 | 50k | 43k | 43k | 8612 | 0 | 385 | 3585 |
      | 3.757279e+10 | 3.893993e+10 | 3.64% | 7.70%
1796s| 1900 | 1687 | 1016k | 297.0 | 3669M | 93 | 50k | 43k | 43k | 8644 | 1 | 387 | 3585 |
      | 3.757279e+10 | 3.893993e+10 | 3.64% | 2.82%
L1902s| 1982 | 1769 | 1090k | 313.4 | gins | 93 | 50k | 43k | 43k | 8935 | 1 | 398 | 3590 |
      | 3.757279e+10 | 3.875897e+10 | 3.16% | 2.83%
L1912s| 1982 | 1769 | 1090k | 313.4 | gins | 93 | 50k | 43k | 43k | 8935 | 1 | 398 | 3590 |
      | 3.757279e+10 | 3.864257e+10 | 2.85% | 2.83%
i1920s| 1982 | 1769 | 1099k | 316.2 | oneopt | 93 | 50k | 43k | 43k | 8935 | 1 | 398 | 3590 |
      | 3.757279e+10 | 3.864241e+10 | 2.85% | 2.83%
1954s| 2000 | 1787 | 1133k | 325.5 | 3731M | 93 | 50k | 43k | 43k | 9004 | 1 | 398 | 3591 |
      | 3.757279e+10 | 3.864241e+10 | 2.85% | 2.83%
```

Файл решения задачи доступен по ссылке <https://disk.yandex.ru/d/6FPE-S5VupA6iw>

Файл статистической сводки доступен по ссылке <https://disk.yandex.ru/d/9G-v54ywEK1TJA>

Вывод по сценарию: описанная выше метаконфигурация приводит к решению задачи, которое оказывается по отношению к результату на доменно-ориентированных эвристиках для последнего решения из пула допустимых целочисленных решений на 2.46% лучше в смысле целевой функции и на 19.64% – в смысле временных издержек (табл. 12).

В табл. 12 через SCIP+MC (a) обозначается решение, построенное на метаконфигурации SCIP, отвечающее *первому* допустимому целочисленному решению, верхняя граница которого не превышает верхнюю границу решения на доменно-ориентированных эвристиках, а через SCIP+MC (b) – решение, отвечающее *последнему* допустимому целочисленному решению в наборе полученных.

Синим цветом обозначен выигрыш в процентах.

Таблица 12. Сводка результатов анализа эффективности метаконфигурации FZBIVSUHPB. Сценарий a78cbead с бинарными переменными

| Способ | Полное время рас- чета, мин | Верхняя граница решения, $\times 10^{10}$ |
|-------------|--------------------------------|--|
| CBC+DOH | 39.82 | 3.961502 |
| SCIP+MC (a) | 29.83 +25.09% | 3.894342 +1.70% |
| SCIP+MC (b) | 32.00 +19.64% | 3.864241 +2.46% |

8.2.2. Сценарий 7FAC4231 с бинарными переменными

Статистика

Общее количество переменных: 740251

Количество целочисленных переменных: 147789

Количество бинарных переменных: 2666

Количество ограничений: 545350

lp-файл: <https://disk.yandex.ru/d/3NbbjflW5zhejQ>

Анализ решения

Пул решений задачи был найден с помощью следующих первичных эвристик:

- INTSHIFTING,
- ONEOPT,
- GINS,
- Crossover,
- ALNS.

Фрагмент лога сессии SCIP

```
...
time | node | left | LP iter|LP it/n|mem/heur|mdpt |vars |cons |rows |cuts |sepa|confs|strbr|
dualbound | primalbound | gap | compl.
r 454s| 372 | 341 | 91171 | 102.3 |intshift| 309 | 41k| 33k| 34k|2788 | 5 | 57 |3711 |
1.053077e+10 | 1.309195e+10 | 24.32%| 0.78%
i 454s| 373 | 340 | 91171 | 102.0 | oneopt| 309 | 41k| 33k| 34k|2788 | 0 | 57 |3711 |
1.053077e+10 | 1.308634e+10 | 24.27%| 0.78%
463s| 400 | 369 | 93623 | 101.3 | 2493M | 309 | 41k| 33k| 34k|2950 | 1 | 57 |3761 |
1.053077e+10 | 1.308634e+10 | 24.27%| 0.29%
L 507s| 473 | 442 |106991 | 113.9 | gins| 309 | 41k| 33k| 34k|3084 | 1 | 57 |3813 |
1.053077e+10 | 1.297515e+10 | 23.21%| 0.29%
L 512s| 473 | 442 |106991 | 113.9 | gins| 309 | 41k| 33k| 34k|3084 | 1 | 57 |3813 |
1.053077e+10 | 1.292548e+10 | 22.74%| 0.29%
L 522s| 473 | 442 |106991 | 113.9 | gins| 309 | 41k| 33k| 34k|3084 | 1 | 57 |3813 |
1.053077e+10 | 1.289283e+10 | 22.43%| 0.29%
L 525s| 473 | 442 |106991 | 113.9 | gins| 309 | 41k| 33k| 34k|3084 | 1 | 57 |3813 |
1.053077e+10 | 1.286340e+10 | 22.15%| 0.29%
i 529s| 473 | 442 |112279 | 125.1 | oneopt| 309 | 41k| 33k| 34k|3084 | 1 | 57 |3813 |
1.053077e+10 | 1.285668e+10 | 22.09%| 0.29%
r 531s| 474 | 443 |120630 | 142.5 |intshift| 309 | 41k| 33k| 34k|3084 | 1 | 58 |3813 |
1.053077e+10 | 1.197786e+10 | 13.74%| 0.29%
i 532s| 474 | 373 |124926 | 151.6 | oneopt| 309 | 41k| 33k| 34k|3084 | 1 | 58 |3813 |
1.053077e+10 | 1.197230e+10 | 13.69%| 0.29%
536s| 500 | 399 |126496 | 146.9 | 2579M | 309 | 41k| 33k| 34k|3181 | 1 | 58 |3822 |
1.053077e+10 | 1.197230e+10 | 13.69%| 0.29%
567s| 600 | 499 |158520 | 175.8 | 2613M | 309 | 41k| 33k| 34k|3641 | 1 | 60 |3933 |
1.053095e+10 | 1.197230e+10 | 13.69%| 0.29%
L 739s| 659 | 554 |189783 | 207.6 | gins| 309 | 41k| 33k| 34k|4060 | 1 | 62 |3978 |
1.053095e+10 | 1.191898e+10 | 13.18%| 0.29%
i 741s| 660 | 555 |198453 | 220.4 | oneopt| 309 | 41k| 33k| 34k|4060 | 1 | 62 |3981 |
1.053095e+10 | 1.191889e+10 | 13.18%| 0.30%
794s| 700 | 595 |236166 | 261.7 | 2689M | 309 | 41k| 33k| 34k|4418 | 1 | 62 |4010 |
1.053095e+10 | 1.191889e+10 | 13.18%| 0.32%
836s| 800 | 695 |277232 | 280.4 | 2728M | 309 | 41k| 33k| 34k|4757 | 1 | 64 |4027 |
1.053219e+10 | 1.191889e+10 | 13.17%| 0.32%
L 967s| 860 | 693 |295017 | 281.5 |crossove| 309 | 41k| 33k| 34k|5000 | 1 | 64 |4059 |
1.053219e+10 | 1.154287e+10 | 9.60%| 0.32%
```

| | | | | | | | | | | |
|--------|--------------|--------------|-------|---------|-----|-----|-----|------------|----------|----------|
| i 968s | 860 | 693 300734 | 288.1 | oneopt | 309 | 41k | 33k | 34k 5000 | 1 | 64 4059 |
| | 1.053219e+10 | 1.154284e+10 | 9.60% | 0.32% | | | | | | |
| 990s | 900 | 733 312921 | 288.9 | 2793M | 309 | 41k | 33k | 34k 5288 | 1 | 64 4139 |
| | 1.053219e+10 | 1.154284e+10 | 9.60% | 0.33% | | | | | | |
| 1042s | 1000 | 823 346085 | 293.2 | 2816M | 309 | 41k | 33k | 34k 5725 | 1 | 65 4281 |
| | 1.053219e+10 | 1.154284e+10 | 9.60% | 0.33% | | | | | | |
| L1083s | 1003 | 826 347173 | 293.4 | alns | 309 | 41k | 33k | 34k 5747 | 2 | 65 4284 |
| | 1.053219e+10 | 1.153273e+10 | 9.50% | 0.33% | | | | | | |
| i1084s | 1004 | 827 352908 | 298.8 | oneopt | 309 | 41k | 33k | 34k 5747 | 1 | 65 4284 |
| | 1.053219e+10 | 1.118743e+10 | 6.22% | 0.33% | | | | | | |
| 1113s | 1100 | 699 373504 | 291.4 | 2860M | 309 | 41k | 33k | 34k 6055 | 3 | 65 4323 |
| | 1.053219e+10 | 1.118743e+10 | 6.22% | 0.44% | | | | | | |
| 1140s | 1 | 0 419115 | - | 3039M | 0 | 41k | 34k | 34k 0 0 | 65 4323 | |
| | 1.053219e+10 | 1.118743e+10 | 6.22% | unknown | | | | | | |

Файл решения задачи доступен по ссылке <https://disk.yandex.ru/d/TmA6hqFV87eGTg>

Файл статистической сводки доступен по ссылке https://disk.yandex.ru/d/CsGV_oal40Tx0Q

Вывод по сценарию: описанная выше метаконфигурация приводит к решению задачи, которое оказывается по отношению к результату на доменно-ориентированных эвристиках для последнего решения из пула допустимых целочисленных решений на 3.38% лучше в смысле целевой функции и на 33.07% – в смысле временных издержек (табл. 13).

В табл. 13 через SCIP+MC (a) обозначается решение, построенное на метаконфигурации SCIP, отвечающее *первому* допустимому целочисленному решению, верхняя граница которого не превышает верхнюю границу решения на доменно-ориентированных эвристиках, а через SCIP+MC (b) – решение, отвечающее *последнему* допустимому целочисленному решению в наборе полученных.

Синим цветом обозначен выигрыш в процентах.

Таблица 13. Сводка результатов анализа эффективности метаконфигурации FZBIVSUHPB. Сценарий 7fac4231 с бинарными переменными

| Способ | Полное время рас- чета, мин | Верхняя граница решения, $\times 10^{10}$ |
|-------------|--------------------------------|--|
| CBC+DOH | 27.00 | 1.157865 |
| SCIP+MC (a) | 18.05 +33.15% | 1.153273 +0.40% |
| SCIP+MC (b) | 18.07 +33.07% | 1.118743 +3.38% |

8.2.3. Сценарий 50197DF7 с бинарными переменными

Статистика

Общее количество переменных: 720954

Количество целочисленных переменных: 159332

Количество бинарных переменных: 2490

Количество ограничений: 600777

lp-файл: <https://disk.yandex.ru/d/qWeSKb2WEs6kQA>

Анализ решения

Пул решений задачи был найден с помощью следующих первичных эвристик:

- o INTSHIFTING,

- ONEOPT,
- GINS.

Фрагмент лога сессии SCIP

```

...
time | node | left | LP iter|LP it/n|mem/heur|mdpt |vars |cons |rows |cuts |sepa|confs|strbr|
      |       |      | primalbound | gap | compl.
r 836s| 963 | 948 |155676 | 53.5 |intshift| 409 | 41k| 34k| 35k|4367 | 1 | 69 |7354 |
      |       |      | 3.554610e+10 | 3.676991e+10 | 3.44%| unknown
i 836s| 964 | 947 |155676 | 53.5 | oneopt| 409 | 41k| 34k| 35k|4367 | 0 | 69 |7354 |
      |       |      | 3.554610e+10 | 3.676497e+10 | 3.43%| unknown
846s| 1000 | 985 |157559 | 53.4 | 2577M | 409 | 41k| 34k| 35k|4396 | 1 | 69 |7444 |
      |       |      | 3.554610e+10 | 3.676497e+10 | 3.43%| unknown
L 885s| 1064 | 1049 |157869 | 50.5 | gins| 409 | 41k| 34k| 35k|4397 | 1 | 69 |7484 |
      |       |      | 3.554610e+10 | 3.659894e+10 | 2.96%| unknown
L 931s| 1064 | 1049 |157869 | 50.5 | gins| 409 | 41k| 34k| 35k|4397 | 1 | 69 |7484 |
      |       |      | 3.554610e+10 | 3.656967e+10 | 2.88%| unknown
i 962s| 1064 | 1049 |161589 | 54.0 | oneopt| 409 | 41k| 34k| 35k|4397 | 1 | 69 |7484 |
      |       |      | 3.554610e+10 | 3.656967e+10 | 2.88%| unknown
969s| 1100 | 1085 |161769 | 52.4 | 2620M | 409 | 41k| 34k| 35k|4397 | 1 | 69 |7532 |
      |       |      | 3.554610e+10 | 3.656967e+10 | 2.88%| unknown
L 988s| 1164 | 1149 |161992 | 49.7 | gins| 409 | 41k| 34k| 35k|4397 | 1 | 69 |7557 |
      |       |      | 3.554610e+10 | 3.630031e+10 | 2.12%| unknown
L 993s| 1164 | 1149 |161992 | 49.7 | gins| 409 | 41k| 34k| 35k|4397 | 1 | 69 |7557 |
      |       |      | 3.554610e+10 | 3.625804e+10 | 2.00%| unknown
L1000s| 1164 | 1149 |161992 | 49.7 | gins| 409 | 41k| 34k| 35k|4397 | 1 | 69 |7557 |
      |       |      | 3.554610e+10 | 3.623675e+10 | 1.94%| unknown

```

Файл решения задачи доступен по ссылке https://disk.yandex.ru/d/2_FDqS70q0UBqA

Файл статистической сводки доступен по ссылке <https://disk.yandex.ru/d/SkRLoRYzQDI-Aw>

Вывод по сценарию: описанная выше метаконфигурация приводит к решению задачи, которое оказывается по отношению к результату на доменно-ориентированных эвристиках для последнего решения из пула допустимых целочисленных решений на 2.87% лучше в смысле целевой функции и на 36.08% – в смысле временных издержек (табл. 14).

В табл. 14 через SCIP+MC (a) обозначается решение, построенное на метаконфигурации SCIP, отвечающее *первому* допустимому целочисленному решению, верхняя граница которого не превышает верхнюю границу решения на доменно-ориентированных эвристиках, а через SCIP+MC (b) – решение, отвечающее *последнему* допустимому целочисленному решению в наборе полученных.

Синим цветом обозначен выигрыш в процентах.

Таблица 14. Сводка результатов анализа эффективности метаконфигурации FZBIVSUHPB. Сценарий 50197df7 с бинарными переменными

| Способ | Полное время рас- чета, мин | Верхняя граница решения, $\times 10^{10}$ |
|-------------|---|---|
| CBC+DOH | 28.27 | 3.730552 |
| SCIP+MC (a) | 13.93 +50.73% | 3.676991 +1.44% |
| SCIP+MC (b) | 18.07 +36.08% | 3.623675 +2.87% |

8.2.4. Сценарий F398266B с бинарными переменными

Статистика

Общее количество переменных: 777271

Количество целочисленных переменных: 172449

Количество бинарных переменных: 2370

Количество ограничений: 655003

lp-файл: <https://disk.yandex.ru/d/4YFYJSB1I1wsmQ>

Анализ решения

Пул решений задачи был найден с помощью следующих первичных эвристик:

- DISTRIBUTIOINDIVING,
- ONEOPT,
- CROSSOVER.

Фрагмент лога сессии SCIP

| | | | | | | | | | | | | | | |
|--------------|------|------|--------------|---------|----------|----------|---------|------|------|------|------|-------|-------|------|
| ... | | | | | | | | | | | | | | |
| time | node | left | LP iter | LP it/n | mem/heur | mdpt | vars | cons | rows | cuts | sepa | confs | strbr | |
| dualbound | | | primalbound | | gap | | compl. | | | | | | | |
| d1163s | 433 | | 434 | 462507 | 790.8 | distrib | 51 | 59k | 48k | 49k | 0 | 1 | 17 | 1387 |
| 5.857793e+10 | | | 6.054807e+10 | | 3.36% | | unknown | | | | | | | |
| d1164s | 433 | | 434 | 462644 | 791.1 | distrib | 51 | 59k | 48k | 49k | 0 | 1 | 17 | 1387 |
| 5.857793e+10 | | | 6.054779e+10 | | 3.36% | | unknown | | | | | | | |
| d1164s | 433 | | 434 | 462746 | 791.3 | distrib | 51 | 59k | 48k | 49k | 0 | 1 | 17 | 1387 |
| 5.857793e+10 | | | 6.054778e+10 | | 3.36% | | unknown | | | | | | | |
| d1164s | 433 | | 434 | 462780 | 791.4 | distrib | 51 | 59k | 48k | 49k | 0 | 1 | 17 | 1387 |
| 5.857793e+10 | | | 6.054776e+10 | | 3.36% | | unknown | | | | | | | |
| d1164s | 433 | | 434 | 462801 | 791.4 | distrib | 51 | 59k | 48k | 49k | 0 | 1 | 17 | 1387 |
| 5.857793e+10 | | | 6.054776e+10 | | 3.36% | | unknown | | | | | | | |
| d1165s | 433 | | 434 | 462836 | 791.5 | distrib | 51 | 59k | 48k | 49k | 0 | 1 | 17 | 1387 |
| 5.857793e+10 | | | 6.054776e+10 | | 3.36% | | unknown | | | | | | | |
| d1165s | 433 | | 434 | 462856 | 791.6 | distrib | 51 | 59k | 48k | 49k | 0 | 1 | 17 | 1387 |
| 5.857793e+10 | | | 6.054774e+10 | | 3.36% | | unknown | | | | | | | |
| i1167s | 434 | | 433 | 463020 | 790.1 | oneopt | 51 | 59k | 48k | 49k | 4333 | 0 | 17 | 1387 |
| 5.857793e+10 | | | 6.053918e+10 | | 3.35% | | unknown | | | | | | | |
| 1250s | 500 | | 501 | 531180 | 822.2 | 3321M | 51 | 59k | 48k | 49k | 4529 | 1 | 26 | 1402 |
| 5.857793e+10 | | | 6.053918e+10 | | 3.35% | | unknown | | | | | | | |
| 1579s | 600 | | 601 | 663342 | 905.6 | 3398M | 51 | 59k | 48k | 49k | 5175 | 1 | 36 | 1426 |
| 5.857932e+10 | | | 6.053918e+10 | | 3.35% | | unknown | | | | | | | |
| L1892s | 634 | | 635 | 704819 | 922.5 | crossove | 55 | 59k | 48k | 49k | 5448 | 2 | 41 | 1433 |
| 5.858028e+10 | | | 6.021605e+10 | | 2.79% | | unknown | | | | | | | |
| i1895s | 634 | | 635 | 715376 | 939.1 | oneopt | 55 | 59k | 48k | 49k | 5448 | 2 | 41 | 1433 |
| 5.858028e+10 | | | 6.021603e+10 | | 2.79% | | unknown | | | | | | | |
| 1952s | 700 | | 701 | 770566 | 929.4 | 3457M | 63 | 59k | 48k | 49k | 5644 | 1 | 50 | 1442 |
| 5.858050e+10 | | | 6.021603e+10 | | 2.79% | | unknown | | | | | | | |
| 2095s | 800 | | 801 | 879949 | 950.0 | 3489M | 65 | 59k | 48k | 49k | 5964 | 1 | 62 | 1476 |
| 5.858065e+10 | | | 6.021603e+10 | | 2.79% | | unknown | | | | | | | |

Файл решения задачи доступен по ссылке <https://disk.yandex.ru/d/KXzdrUx6TZbXEw>

Файл статистической сводки доступен по ссылке <https://disk.yandex.ru/d/FEroaFsr5zbkja>

Вывод по сценарию: описанная выше метаконфигурация приводит к решению задачи, которое оказывается по отношению к результату на доменно-ориентированных эвристиках для последнего решения из пула допустимых целочисленных решений на 0.97% лучше в смысле целевой функции и на 56.24% – в смысле временных издержек (табл. 15).

В табл. 15 через SCIP+MC (a) обозначается решение, построенное на метаконфигурации SCIP, отвечающее *первому* допустимому целочисленному решению, верхняя граница которого не превышает верхнюю границу решения на доменно-ориентированных эвристиках, а через SCIP+MC (b) – решение, отвечающее *последнему* допустимому целочисленному решению в наборе полученных.

Синим цветом обозначен выигрыш в процентах.

Таблица 15. Сводка результатов анализа эффективности метаконфигурации FZBIVSUHPB. Сценарий f398266b с бинарными переменными

| Способ | Полное время рас- чета, мин | Верхняя граница решения, $\times 10^{10}$ |
|-------------|--------------------------------|--|
| CBC+DOH | 72.17 | 6.080841 |
| SCIP+MC (a) | 19.38 +73.15% | 6.054807 +0.43% |
| SCIP+MC (b) | 31.58 +56.24% | 6.021603 +0.97% |

8.2.5. Сценарий 337 с бинарными переменными

Статистика

Общее количество переменных: 859230

Количество целочисленных переменных: 173622

Количество бинарных переменных: 155

Количество ограничений: 624637

lp-файл: <https://disk.yandex.ru/d/Kc11p9v7D-kxYA>

Анализ решения

Пул решений задачи был найден с помощью следующих первичных эвристик:

- INTSHIFTING,
- RENS,
- ONEOPT.

Фрагмент лога сессии SCIP

| time | node | left | LP iter | LP it/n | mem/heur | mdpt | vars | cons | rows | cuts | sepa | confs | strbr |
|--------|------|--------------|--------------|----------|----------|------|----------|------|------|------|------|-------|-------|
| | | dualbound | primalbound | gap | compl. | | | | | | | | |
| r 107s | 1 | 0 55407 | - | intshift | 0 56k | 43k | 45k 1799 | 13 | 0 | 0 | | | |
| | | 2.947544e+10 | 4.344720e+10 | 47.40% | unknown | | | | | | | | |
| L 247s | 1 | 0 55407 | - | rens | 0 56k | 43k | 45k 1799 | 13 | 0 | 0 | | | |
| | | 2.947544e+10 | 3.022206e+10 | 2.53% | unknown | | | | | | | | |
| 249s | 1 | 0 55407 | - | 2785M | 0 56k | 43k | 45k 1799 | 13 | 0 | 0 | | | |
| | | 2.947544e+10 | 3.022206e+10 | 2.53% | unknown | | | | | | | | |
| i 250s | 1 | 0 58839 | - | oneopt | 0 56k | 43k | 45k 1799 | 13 | 0 | 0 | | | |
| | | 2.947544e+10 | 3.022205e+10 | 2.53% | unknown | | | | | | | | |
| 250s | 1 | 0 58839 | - | 2809M | 0 56k | 43k | 45k 1799 | 13 | 0 | 0 | | | |
| | | 2.947544e+10 | 3.022205e+10 | 2.53% | unknown | | | | | | | | |
| 251s | 1 | 0 58891 | - | 2813M | 0 56k | 43k | 45k 1820 | 14 | 0 | 0 | | | |
| | | 2.947544e+10 | 3.022205e+10 | 2.53% | unknown | | | | | | | | |
| 251s | 1 | 0 58900 | - | 2813M | 0 56k | 43k | 44k 1824 | 15 | 0 | 0 | | | |
| | | 2.947544e+10 | 3.022205e+10 | 2.53% | unknown | | | | | | | | |
| 253s | 1 | 0 59074 | - | 2816M | 0 56k | 43k | 44k 1824 | 15 | 0 | 12 | | | |
| | | 2.947544e+10 | 3.022205e+10 | 2.53% | unknown | | | | | | | | |
| 254s | 1 | 0 59236 | - | 2821M | 0 56k | 43k | 44k 1918 | 16 | 0 | 12 | | | |
| | | 2.948327e+10 | 3.022205e+10 | 2.51% | unknown | | | | | | | | |

| | | | | | | | | | | | | |
|------|--------------|--------------|-------|---------|-------|---|-----|-----|----------|----|---|----|
| 254s | 1 | 0 | 59300 | - | 2821M | 0 | 56k | 43k | 44k 1945 | 17 | 0 | 12 |
| | 2.948327e+10 | 3.022205e+10 | 2.51% | unknown | | | | | | | | |
| 255s | 1 | 0 | 59321 | - | 2821M | 0 | 56k | 43k | 44k 1945 | 17 | 0 | 19 |
| | 2.948327e+10 | 3.022205e+10 | 2.51% | unknown | | | | | | | | |
| 256s | 1 | 0 | 59349 | - | 2825M | 0 | 56k | 43k | 44k 1959 | 18 | 0 | 19 |
| | 2.948327e+10 | 3.022205e+10 | 2.51% | unknown | | | | | | | | |
| 256s | 1 | 0 | 59352 | - | 2825M | 0 | 56k | 43k | 44k 1964 | 19 | 0 | 19 |
| | 2.948327e+10 | 3.022205e+10 | 2.51% | unknown | | | | | | | | |
| 258s | 1 | 0 | 59368 | - | 2825M | 0 | 56k | 43k | 44k 1964 | 19 | 0 | 35 |
| | 2.957927e+10 | 3.022205e+10 | 2.17% | unknown | | | | | | | | |
| 259s | 1 | 0 | 59451 | - | 2829M | 0 | 56k | 43k | 44k 2014 | 20 | 0 | 35 |
| | 2.957927e+10 | 3.022205e+10 | 2.17% | unknown | | | | | | | | |
| 259s | 1 | 0 | 59466 | - | 2829M | 0 | 56k | 43k | 44k 2024 | 21 | 0 | 35 |
| | 2.957927e+10 | 3.022205e+10 | 2.17% | unknown | | | | | | | | |
| 259s | 1 | 2 | 59466 | - | 2829M | 0 | 56k | 43k | 44k 2024 | 21 | 0 | 35 |
| | 2.957927e+10 | 3.022205e+10 | 2.17% | unknown | | | | | | | | |

Файл решения задачи доступен по ссылке <https://disk.yandex.ru/d/zwVhKYKEM1M1Qw>

Файл статистической сводки доступен по ссылке <https://disk.yandex.ru/d/T9sAbRH6uWh4Uw>

Вывод по сценарию: описанная выше метаконфигурация приводит к решению задачи, которое оказывается по отношению к результату на доменно-ориентированных эвристиках для последнего решения из пула допустимых целочисленных решений на ...% лучше в смысле целевой функции и на ...% – в смысле временных издержек (табл. 16).

В табл. 16 через SCIP+MC (a) обозначается решение, построенное на метаконфигурации SCIP, отвечающее *первому* допустимому целочисленному решению, верхняя граница которого не превышает верхнюю границу решения на доменно-ориентированных эвристиках, а через SCIP+MC (b) – решение, отвечающее *последнему* допустимому целочисленному решению в наборе полученных.

Синим цветом обозначен выигрыш в процентах.

Таблица 16. Сводка результатов анализа эффективности метаконфигурации FZBIVSUNPB. Сценарий 337 с бинарными переменными

| Способ | Полное время рас- чета, мин | Верхняя граница решения, $\times 10^{10}$ |
|-------------|--------------------------------|--|
| CBC+DOH | 18.00 | 4.047865 |
| SCIP+MC (a) | 4.12 +77.11% | 3.022206 +25.34% |
| SCIP+MC (b) | 4.30 +76.11% | 3.022205 +25.34% |

8.3. Поиск решения на базе методов машинного и глубокого обучения

Условимся *сценарием обучающего поднабора* называть сценарий (математическую постановку задачи, описанную в терманах математического программирования) из коллекции сценариев, которые используются на *обучающей фазе* модели машинного обучения.

Сценарием тестового поднабора условимся называть сценарий, который используется для построения прогноза с помощью модели машинного обучения.

8.3.1. Простое декартово произведение сценариев с бинарными переменными

Рассмотрим *некоммутативные* пары вида «сценарий обучающего поднабора – сценарий тестового поднабора» подгруппы сценариев с бинарными переменными (см. раздел 8.2):

Сценарий input_a78cbead-073b-ec11-a2d4-005056a5ee74.json (1-ая и 2-ая фазы поиска решения)

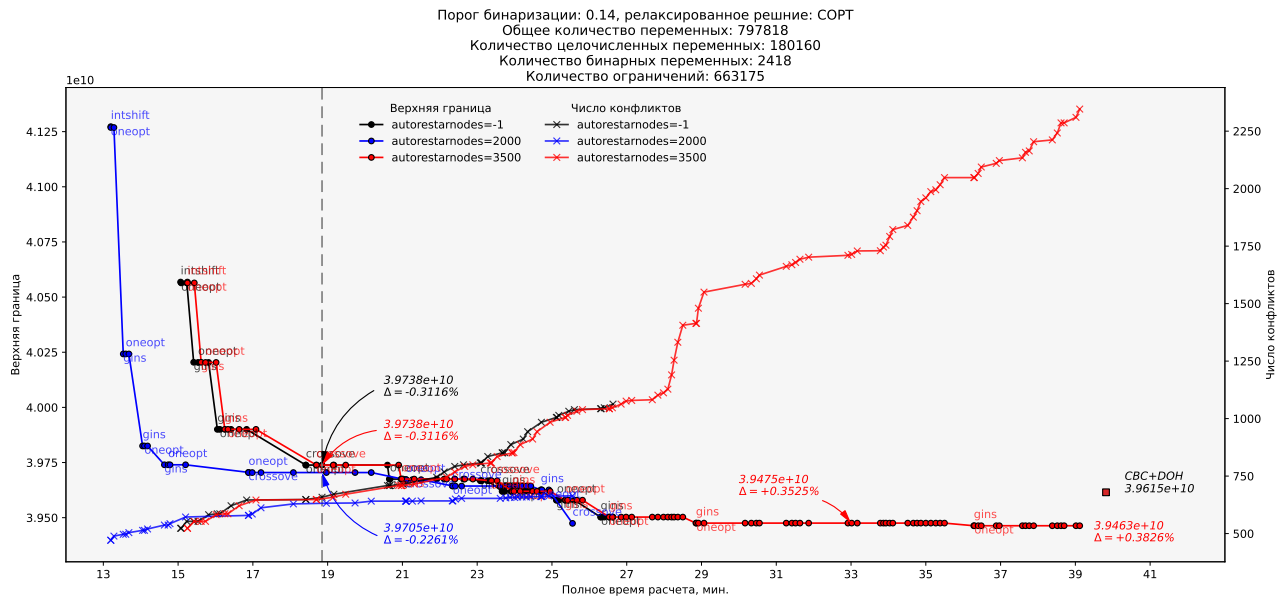


Рис. 17. Динамика изменения верхней границы решения и числа конфликтов во времени в зависимости от значения параметра autorestartnodes. Сценарий input_a78cbead. Первая и вторая фазы поиска решения

Сценарий input_a78cbead-073b-ec11-a2d4-005056a5ee74.json (3-ья фаза поиска решения)

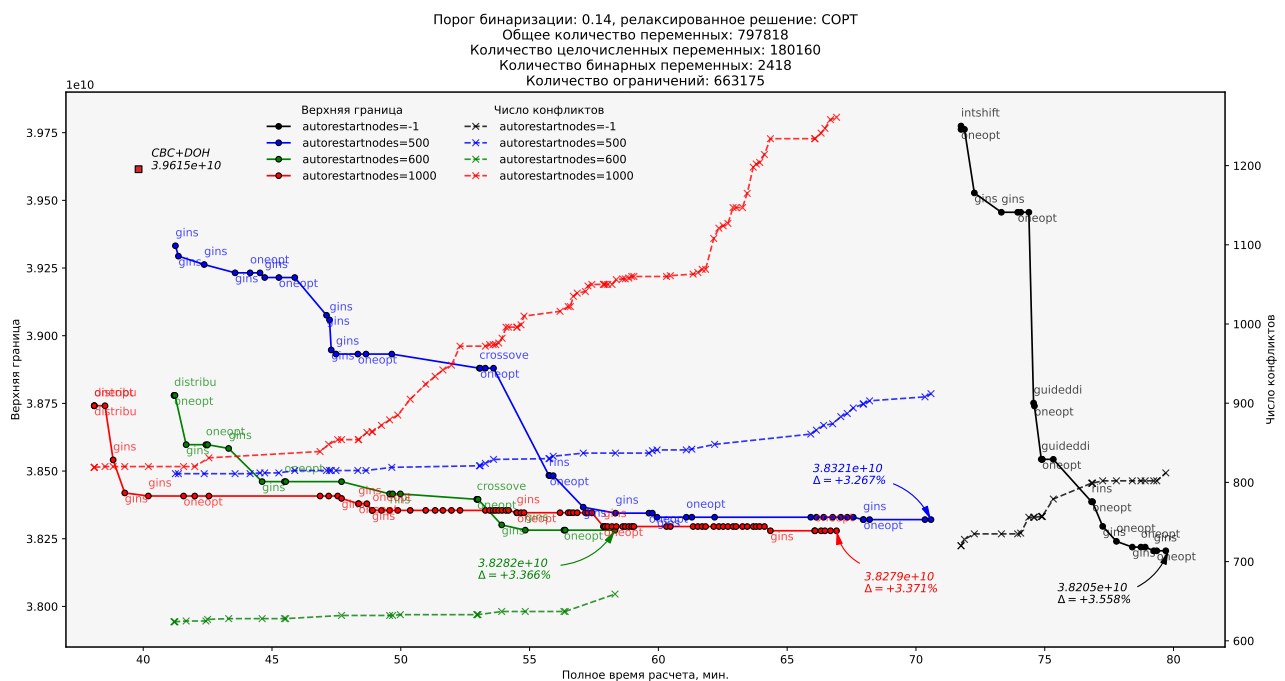


Рис. 18. Динамика изменения верхней границы решения и числа конфликтов во времени в зависимости от значения параметра autorestartnodes. Сценарий a78cbead. Третья фаза поиска решения

- 7fac4231_bin.lp,
- a78cbead_bin.lp,
- f398266b_bin.lp,
- 50197df7_bin.lp,
- 337_bin.lp.

обучение на сценарии f398266b_bin.lp, тестирование на сценарии 50197df7_bin.lp ...

обучение на сценарии 337_bin.lp, тестирование на сценарии 50197df7_bin.lp ...провал

обучение на сценарии 7fac4231_bin.lp, тестирование на сценарии 50197df7_bin.lp

9. Описание вычислительных экспериментов на сценариях группы МВО

10. Описание вычислительных экспериментов на сценариях MIPLIB 2017

10.1. Сценарии со статусом «open»

10.1.1. Сценарий DLR2

<https://miplib.zib.de/WebData/instances/dlr2.mps.gz>

10.1.2. Сценарий CVRPA-N64K9VRPI

<https://miplib.zib.de/WebData/instances/cvrpa-n64k9vrpi.mps.gz>

10.2. Сценарии со статусом «hard»

10.2.1. Сценарий CRYPTANALYSISKB128N50BJ14

<https://miplib.zib.de/WebData/instances/cryptanalysiskb128n5obj14.mps.gz>

10.3. Сценарии со статусом «easy»

10.3.1. Сценарий NEOS-4332801-seret

<https://miplib.zib.de/WebData/instances/neos-4332801-seret.mps.gz>

Список иллюстраций

| | | |
|----|---|----|
| 1 | Сводка результатов вычислительных экспериментов на сценариях группы ИКП . | 12 |
| 2 | Зависимость верхней границы решения от доли бинарных переменных, выставлен- ных в ноль. Сценарий <code>a78cbead</code> | 15 |
| 3 | Зависимость верхней границы решения от доли бинарных переменных, выставлен- ных в ноль. Сценарий <code>337</code> | 15 |
| 4 | Сводка результатов вычислительных экспериментов на сценарии группы СОП <code>tmpfvqqodxw.lp</code> | 21 |
| 5 | Сводка результатов вычислительных экспериментов на сценарии группы СОП <code>1664182546_82382.lp</code> | 22 |
| 6 | Сводка результатов вычислительных экспериментов на сценарии группы СОП <code>1664182533_1587787.1</code> | 23 |
| 7 | Сводка результатов вычислительных экспериментов на сценарии группы СОП <code>1664182480_4326847.1</code> | 25 |
| 8 | Сводка результатов вычислительных экспериментов на сценарии группы СОП <code>1664182523_380519.1</code> | 26 |
| 9 | Сводка результатов анализа эффективности метаконфигурации SUN. Сценарий <code>f398266b</code> без бинарных переменных | 28 |
| 10 | Сводка результатов анализа эффективности метаконфигурации SUN. Сценарий <code>50197df7</code> без бинарных переменных | 29 |
| 11 | Сводка результатов анализа эффективности метаконфигурации SUN. Сценарий <code>7fac4231</code> без бинарных переменных | 30 |
| 12 | Сводка результатов анализа эффективности метаконфигурации SUN. Сценарий <code>ca485a55</code> без бинарных переменных | 32 |
| 13 | Сводка результатов анализа эффективности метаконфигурации SUN. Сценарий <code>276</code> без бинарных переменных | 33 |
| 14 | Сводка результатов анализа эффективности метаконфигурации SUN. Сценарий <code>337</code> без бинарных переменных | 34 |
| 15 | Сводка результатов анализа эффективности метаконфигурации SUN. Сценарий <code>13d686ab</code> без бинарных переменных | 36 |
| 16 | Сводка результатов анализа эффективности метаконфигурации SUN. Сценарий <code>a78cbead</code> без бинарных переменных | 37 |
| 17 | Динамика изменения верхней границы решения и числа конфликтов во времени в зависимости от значения параметра <code>autorestartnodes</code> . Сценарий <code>input_a78cbead</code> . Первая и вторая фазы поиска решения | 49 |
| 18 | Динамика изменения верхней границы решения и числа конфликтов во времени в зависимости от значения параметра <code>autorestartnodes</code> . Сценарий <code>a78cbead</code> . Третья фаза поиска решения | 49 |
| 19 | Динамика изменения верхней границы решения и числа конфликтов во времени в зависимости от значения параметра <code>autorestartnodes</code> . Сценарий <code>50197df7</code> . Третья фаза поиска решения | 50 |
| 20 | Динамика изменения верхней границы решения и числа конфликтов во времени в зависимости от значения параметра <code>autorestartnodes</code> . Сценарий <code>7fac4231</code> . Третья фаза поиска решения | 50 |

Список таблиц

| | | |
|----|--|----|
| 1 | Сводка результатов анализа эффективности метаконфигураций SUH и FZBIVSUHPB. Сценарий <code>f398266b</code> без бинарных переменных | 27 |
| 2 | Сводка результатов анализа эффективности метаконфигураций SUH и FZBIVSUHPB. Сценарий <code>50197df7</code> без бинарных переменных | 29 |
| 3 | Сводка результатов анализа эффективности метаконфигураций SUH и FZBIVSUHPB. Сценарий <code>7fac4231</code> без бинарных переменных | 30 |
| 4 | Сводка результатов анализа эффективности метаконфигураций SUH и FZBIVSUHPB. Сценарий <code>ca485a55</code> без бинарных переменных | 31 |
| 5 | Сводка результатов анализа эффективности метаконфигураций SUH и FZBIVSUHPB. Сценарий <code>276</code> без бинарных переменных | 33 |
| 6 | Сводка результатов анализа эффективности метаконфигураций SUH и FZBIVSUHPB. Сценарий <code>337</code> без бинарных переменных | 34 |
| 7 | Сводка результатов анализа эффективности метаконфигураций SUH и FZBIVSUHPB. Сценарий <code>13d686ab</code> без бинарных переменных | 35 |
| 8 | Сводка результатов анализа эффективности метаконфигураций SUH и FZBIVSUHPB. Сценарий <code>a78cbead</code> без бинарных переменных | 36 |
| 9 | Сводка результатов анализа эффективности метаконфигураций FZBIVSUHPB и ансамбля детекторов аномалий. Сценарий <code>496</code> без бинарных переменных | 38 |
| 10 | Сводка результатов анализа эффективности метаконфигураций FZBIVSUHPB и ансамбля детекторов аномалий. Сценарий <code>514</code> без бинарных переменных | 39 |
| 11 | Сводка результатов анализа эффективности метаконфигураций FZBIVSUHPB и ансамбля детекторов аномалий. Сценарий <code>519</code> без бинарных переменных | 40 |
| 12 | Сводка результатов анализа эффективности метаконфигурации FZBIVSUHPB. Сценарий <code>a78cbead</code> с бинарными переменными | 42 |
| 13 | Сводка результатов анализа эффективности метаконфигурации FZBIVSUHPB. Сценарий <code>7fac4231</code> с бинарными переменными | 44 |
| 14 | Сводка результатов анализа эффективности метаконфигурации FZBIVSUHPB. Сценарий <code>50197df7</code> с бинарными переменными | 45 |
| 15 | Сводка результатов анализа эффективности метаконфигурации FZBIVSUHPB. Сценарий <code>f398266b</code> с бинарными переменными | 47 |
| 16 | Сводка результатов анализа эффективности метаконфигурации FZBIVSUHPB. Сценарий <code>337</code> с бинарными переменными | 48 |

Список литературы

1. *Иванов* Конспект по обучению с подкреплением, 2022
2. *Жерон, О.* Прикладное машинное обучение с помощью Scikit-Learn и TensorFlow: концепции, инструменты и техники для создания интеллектуальных систем. – СПб.: ООО «Альфа-книга», 2018. – 688 с.
3. *Soenen J. etc.* The Effect of Hyperparameter Tuning on the Comparative Evaluation of Unsupervised Anomaly Detection Methods, 2021